



UNIVERSITÀ
POLITECNICA
DELLE MARCHE

—

The Role of Concept Maps in the Improvement of the Teaching and Learning Process

Liberato Cardellini

l.cardellini@univpm.it

Ancona, Italy





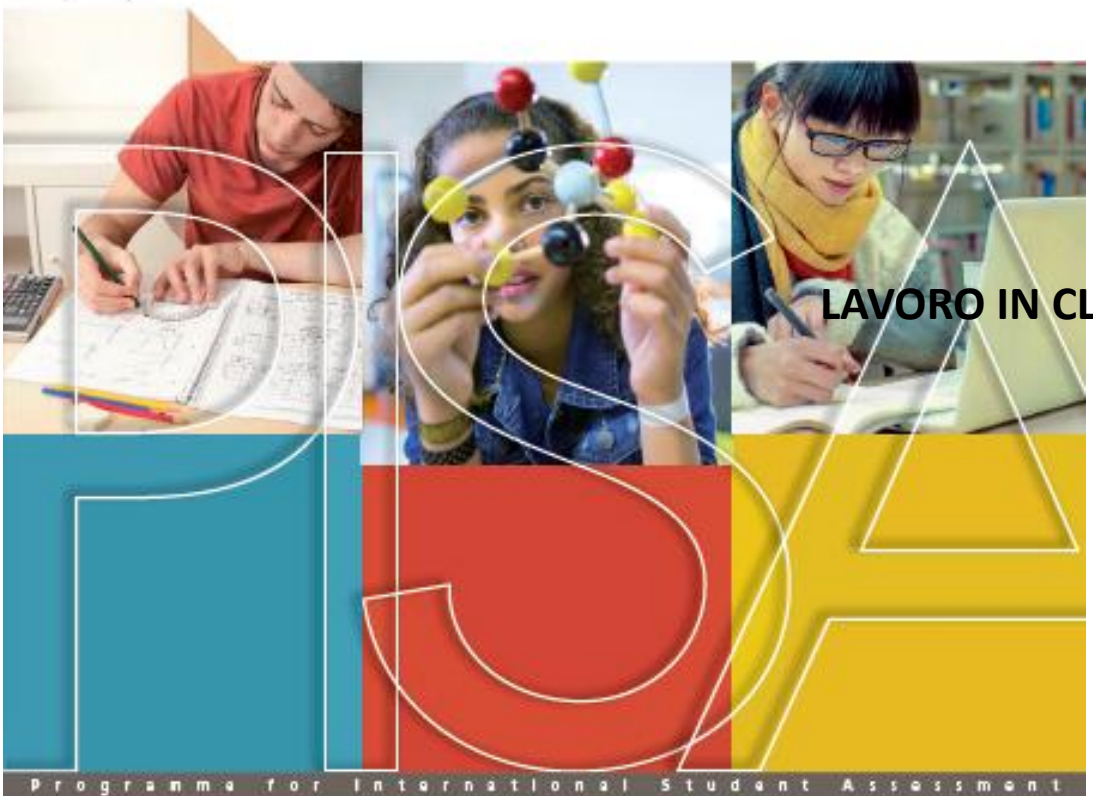
Overview

- Introduction
- The PROFILES project
- To score or not to score
- Gifted education
- Conclusions





PISA 2015 Results
EXCELLENCE AND EQUITY IN EDUCATION
VOLUME I



Programme for International Student Assessment



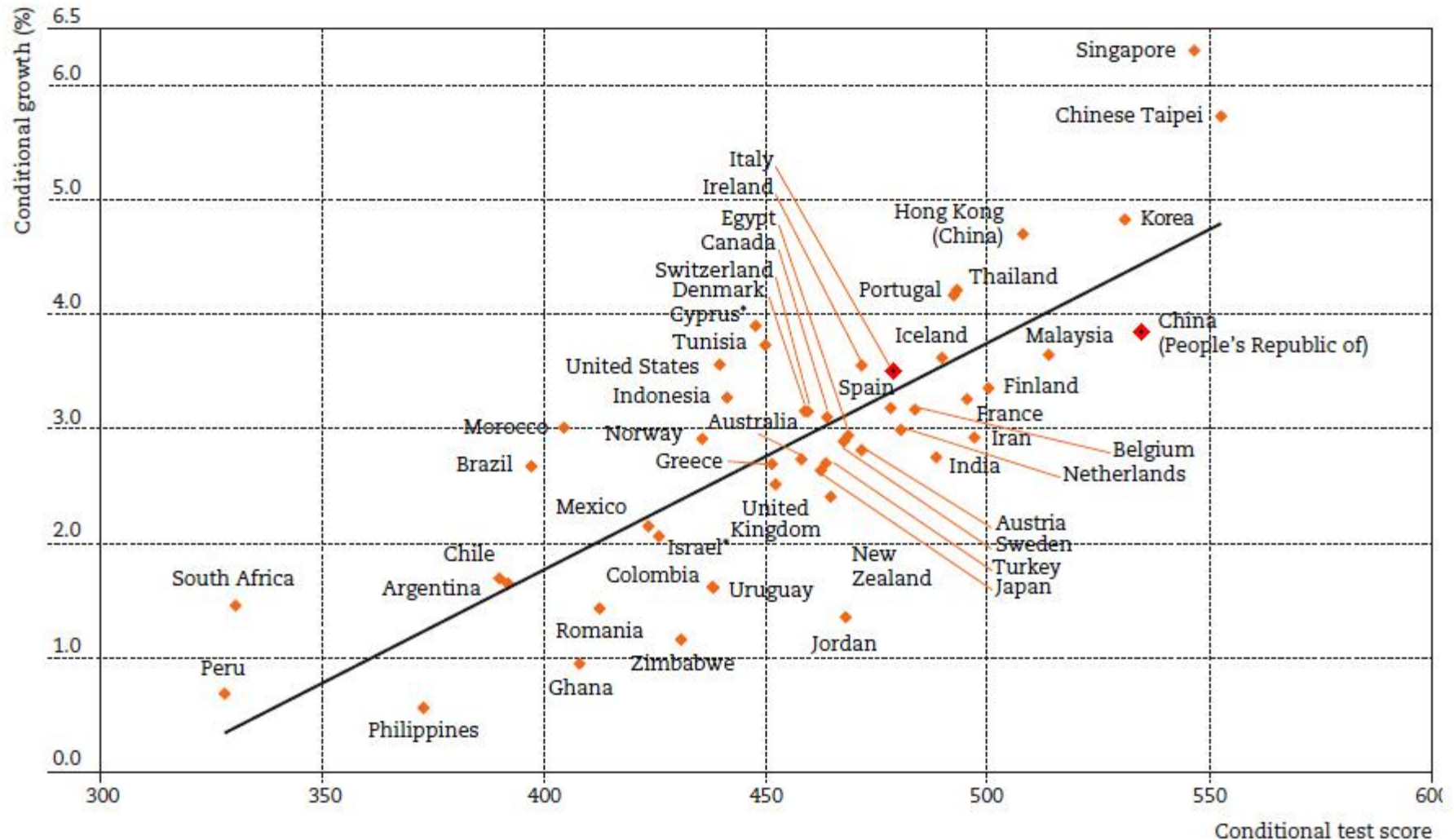
Universal Basic Skills

WHAT COUNTRIES STAND TO GAIN



OECD (2015), Universal Basic Skills

FIGURE 2.1 KNOWLEDGE CAPITAL AND ECONOMIC GROWTH RATES ACROSS COUNTRIES

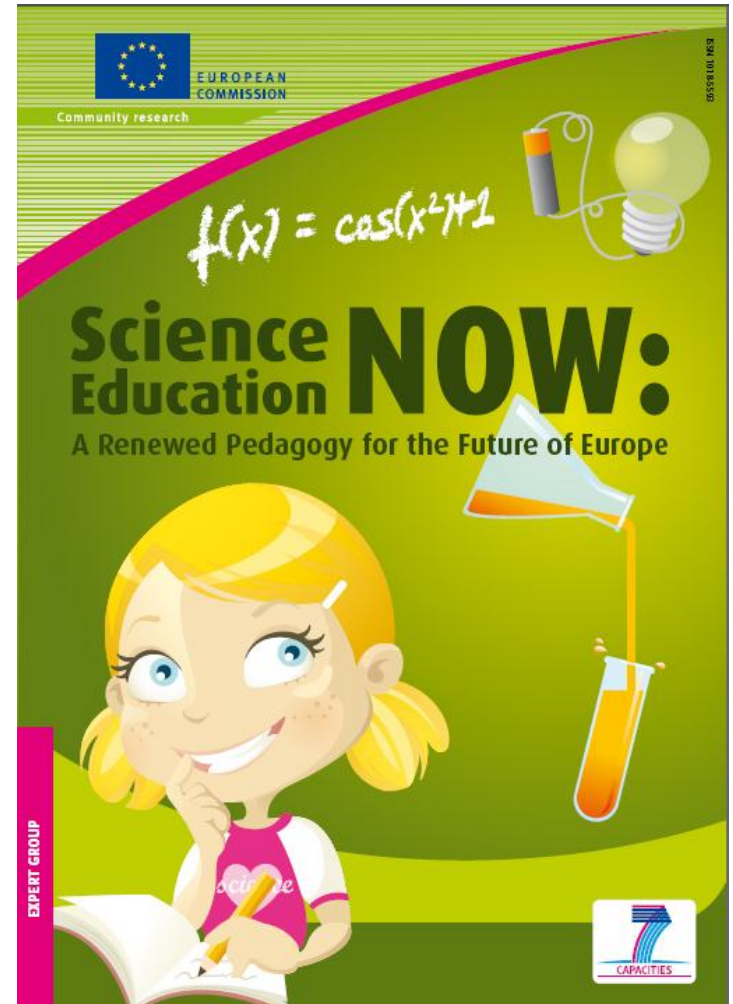


Science education in Europe

The Rocard's report (2007)

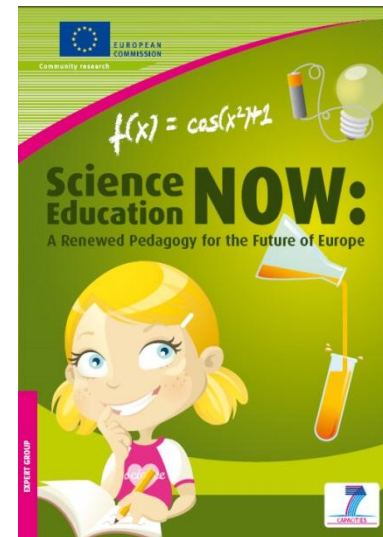
**“students have a perception of science education as irrelevant and difficult”
(Rocard et al., 2007, p. 9).**

Rocard, M., Csermely, P., Jorde, D., Lenzen, D., Walberg-Henriksson, H. & Hemmo, V. (2007). Science Education Now: A Renewed Pedagogy for the Future of Europe. Brussels: Directorate General for Research, Science, Economy and Society.



The Rocard's report (2007)

It recommends using Inquiry Based Science Education (IBSE) to strengthen scientific education in Europe





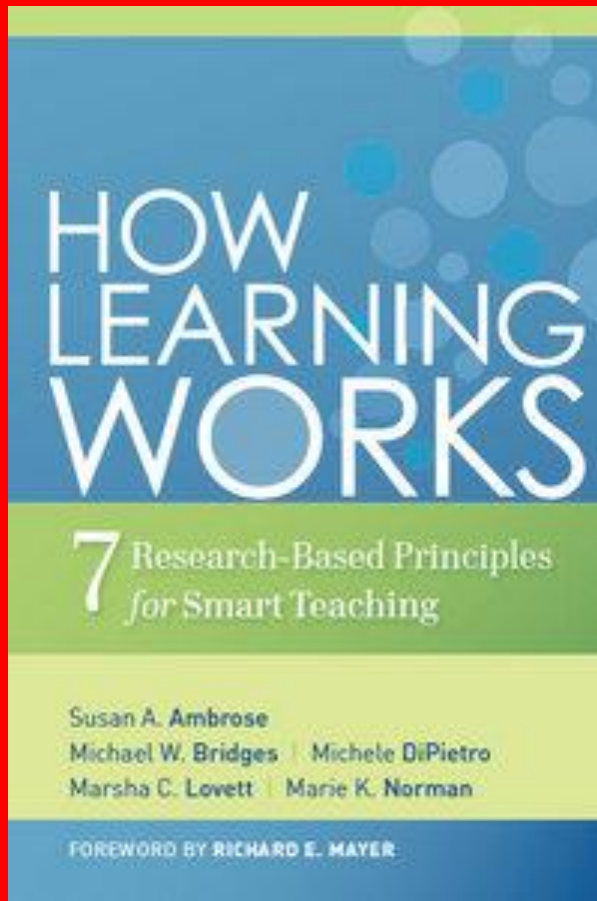
Andrea Schleicher, one of the architects of the OECD's Pisa examination, says research shows there is a high demand for problem solvers, effective communicators and creative thinkers

Christopher Pike / The National: January 6, 2014

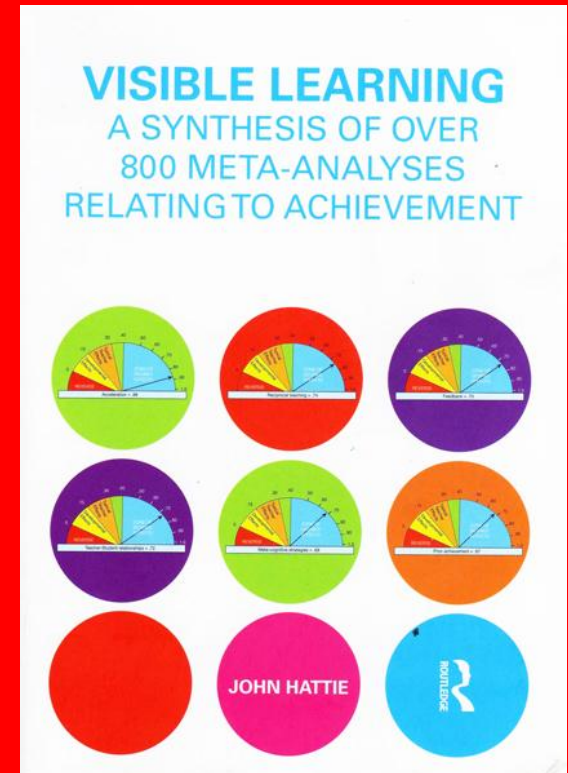
Science education is valued

**Some countries pay a lot of
attention in the education of
gifted students**

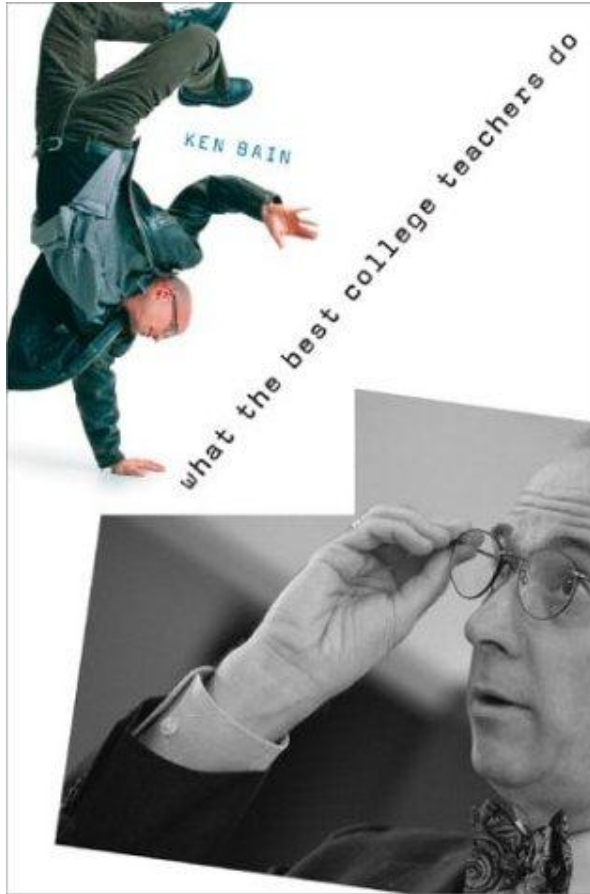
Lots of books ...



... and studies



What the best college teachers do



- 1. Know their subject matter extremely well**
- 2. Prepare for their teaching sessions seriously**
- 3. Expect more from students**
- 4. Create a natural critical learning environment**
- 5. Treat students fairly**
- 6. Check progress and evaluate efforts**

The PROFILES project

Professional **R**eflection-**O**riented
Focus on **I**nquiry **L**earning and
Education through **S**cience

PROFILES



I C A S E

2010-2015



Partners in the PROFILES project

PROFILES in Italy







Professional development

The Continuous Professional Development (CPD) of teachers, together with a kind of teaching oriented to the reflection, in essence, represents the focus of the PROFILES project

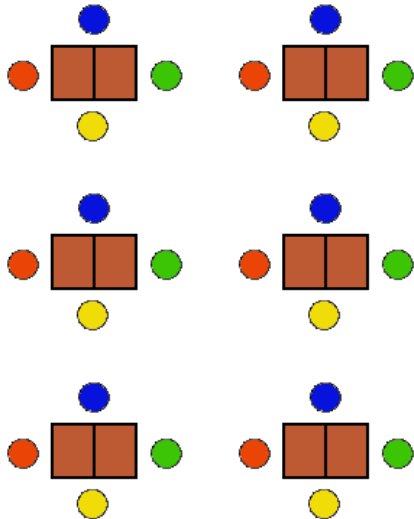
CPD in Italy

Three didactic methods have formed the backbone of the CPD in Italy:

- **Cooperative Learning**
- **The use of Summaries and Concept Mapping**
- **Problem Solving**

A demanding environment

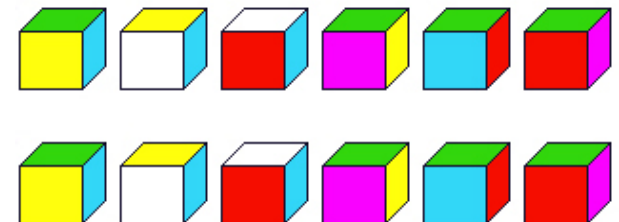
Concept Maps



Problem Solving



Cooperative Learning



A list of influences on achievement

Effect Size: $0.61 + 0.60 + 0.59 = 1.8$!

RANK	INFLUENCE	ES
1	Self-reported grades/Student expectations	1.44
2	Piagetian programs	1.28
3	Response to intervention	1.07
4	Teacher credibility	0.90
4	Providing formative evaluation	0.90
6	Micro-teaching	0.88
7	Classroom discussion	0.82
8	Comprehensive interventions for learning disabled students	0.77
9	Teacher clarity	0.75
10	Feedback	0.75
11	Reciprocal teaching	0.74
12	Teacher-student relationships	0.72
13	Spaced vs mass practice	0.71
14	Meta-cognitive strategies	0.69
15	Acceleration	0.68
16	Classroom behavioural	0.68
17	Vocabulary programs	0.67
18	Repeated reading programs	0.67
19	Creativity programs on achievement	0.65
20	Prior achievement	0.65
21	Self-verbalization and self-questioning	0.64
22	Study skills	0.63
23	Teaching strategies	0.62
24	• Problem-solving teaching	0.61 •
25	Not labelling students	0.61
26	Comprehension programs	0.60
27	• Concept mapping	0.60 •
28	• Cooperative vs individualistic learning	0.59 •
29	Direct instruction	0.59
30	Tactile stimulation programs	0.58
31	Mastery learning	0.58
32	Worked examples	0.57
33	Visual-perception programs	0.55
34	Peer tutoring	0.55
35	Cooperative vs competitive learning	0.54

VISIBLE LEARNING FOR TEACHERS

MAXIMIZING IMPACT ON LEARNING

JOHN HATTIE



CPD in Italy

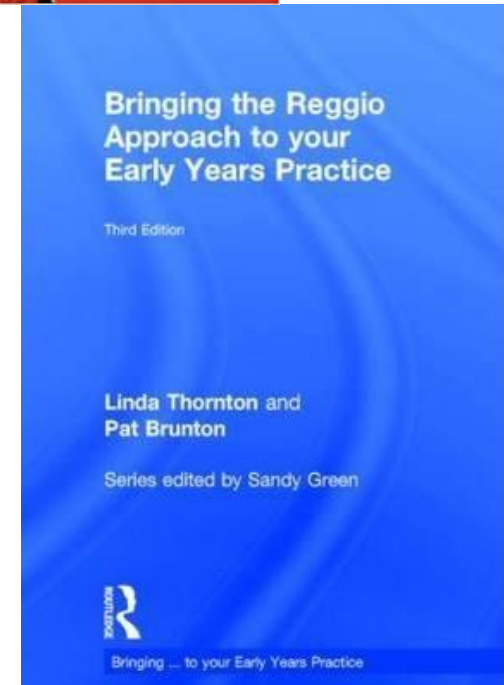
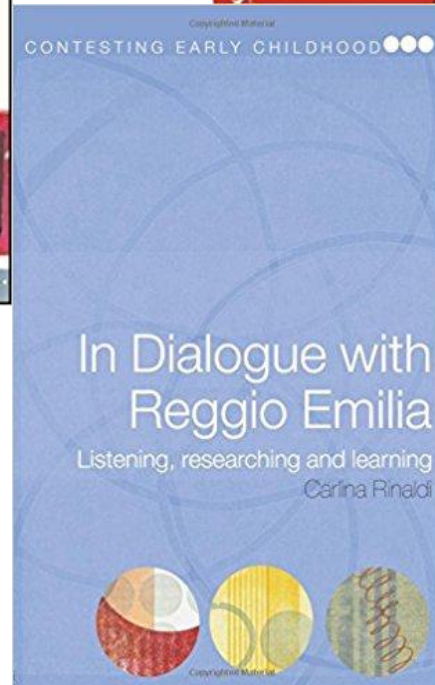
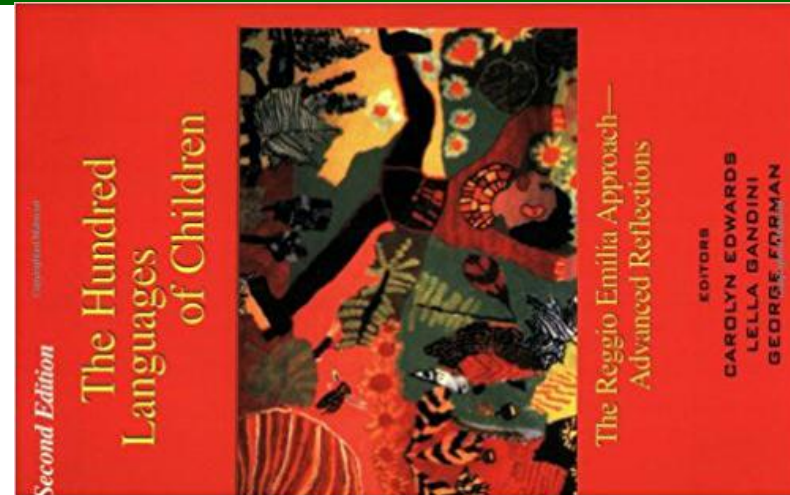
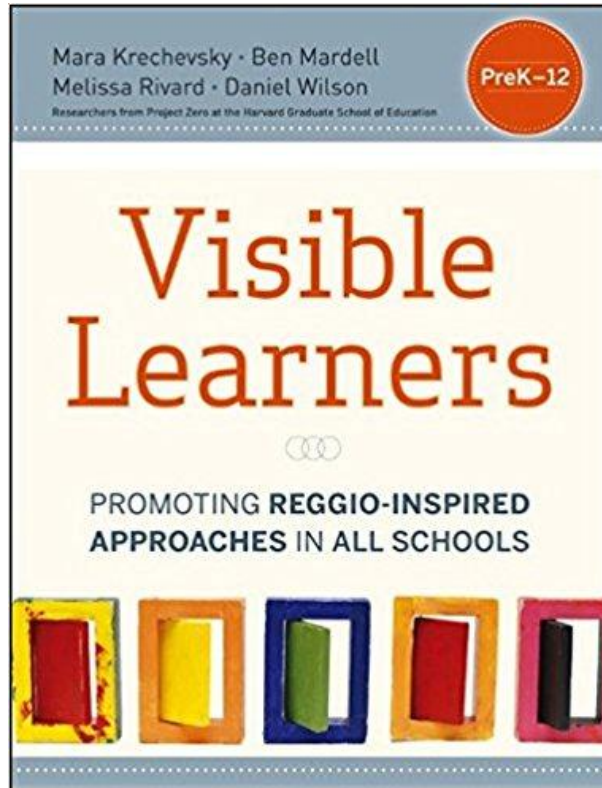
The use of these methods was made even more productive by means of two teaching factors rarely used in Italy:

- **The Argumentation**
- **Visible Learning and Reasoning**

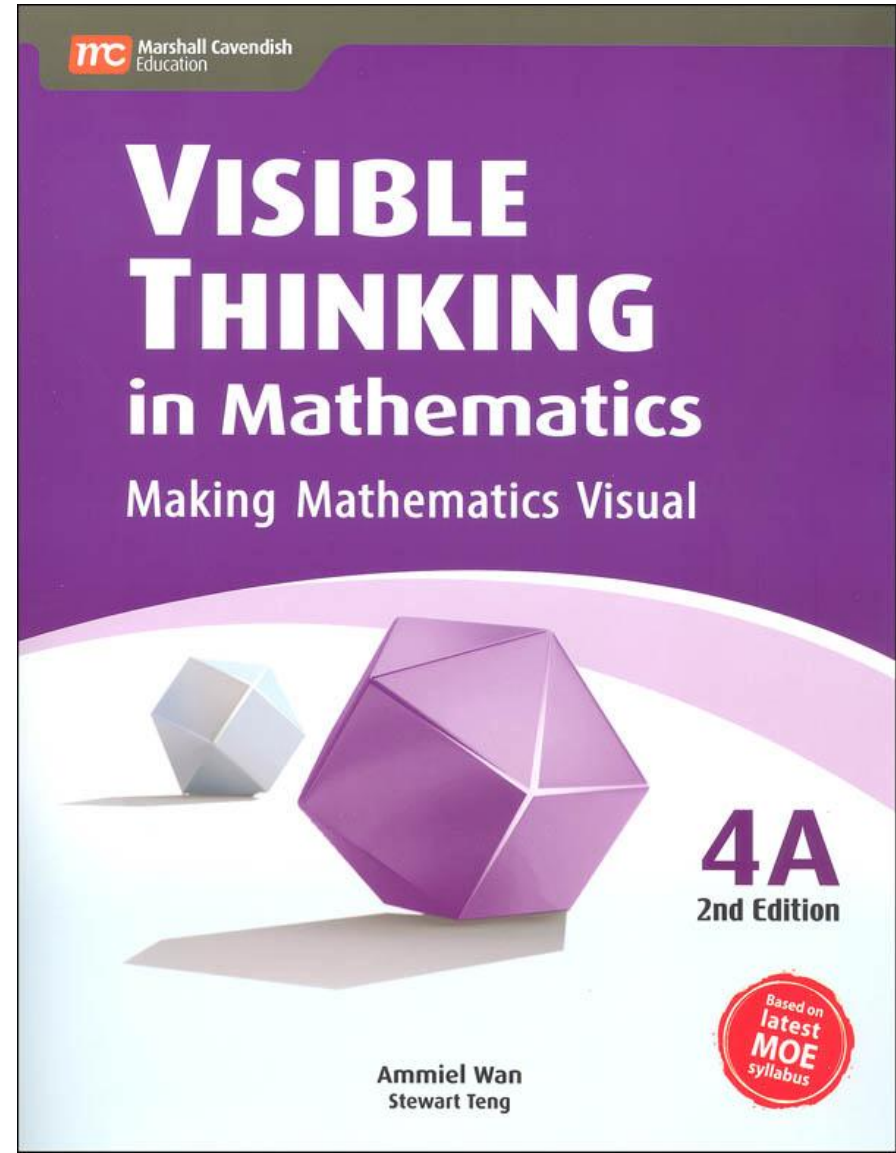
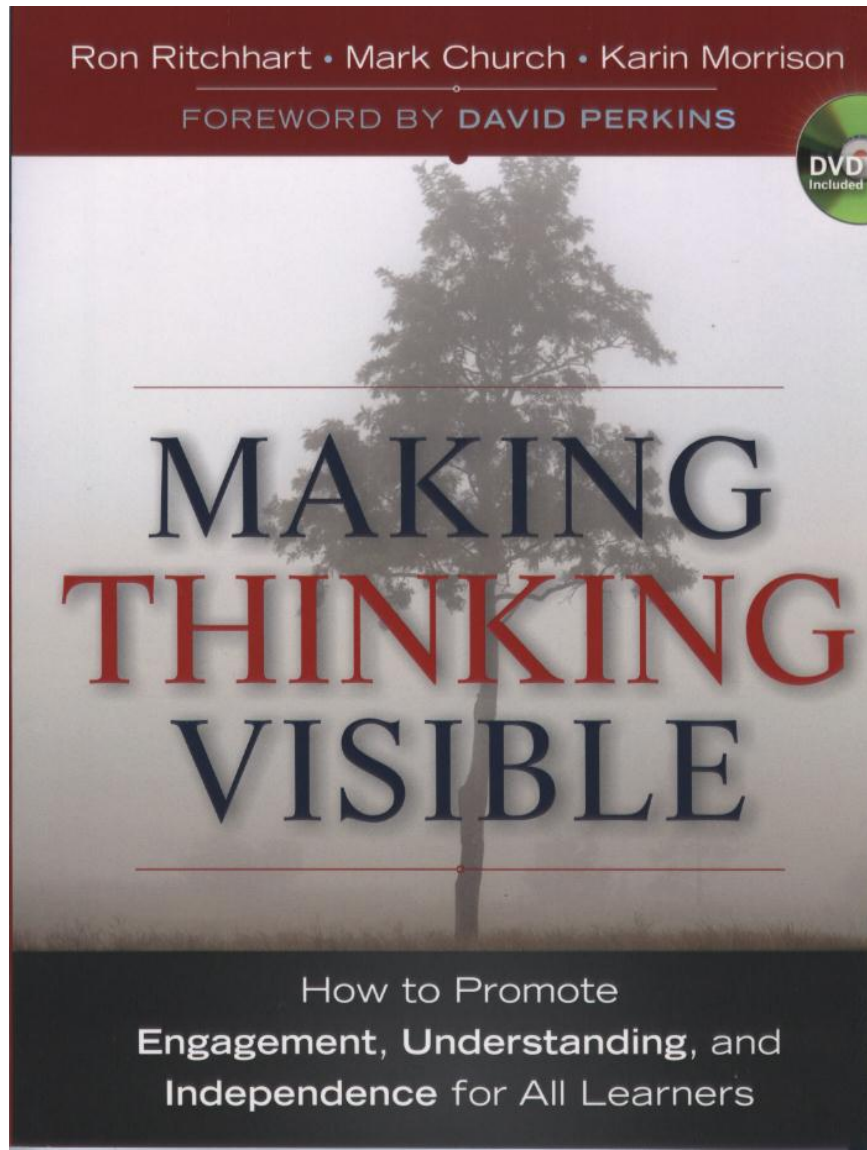
Visible Learning and Reasoning



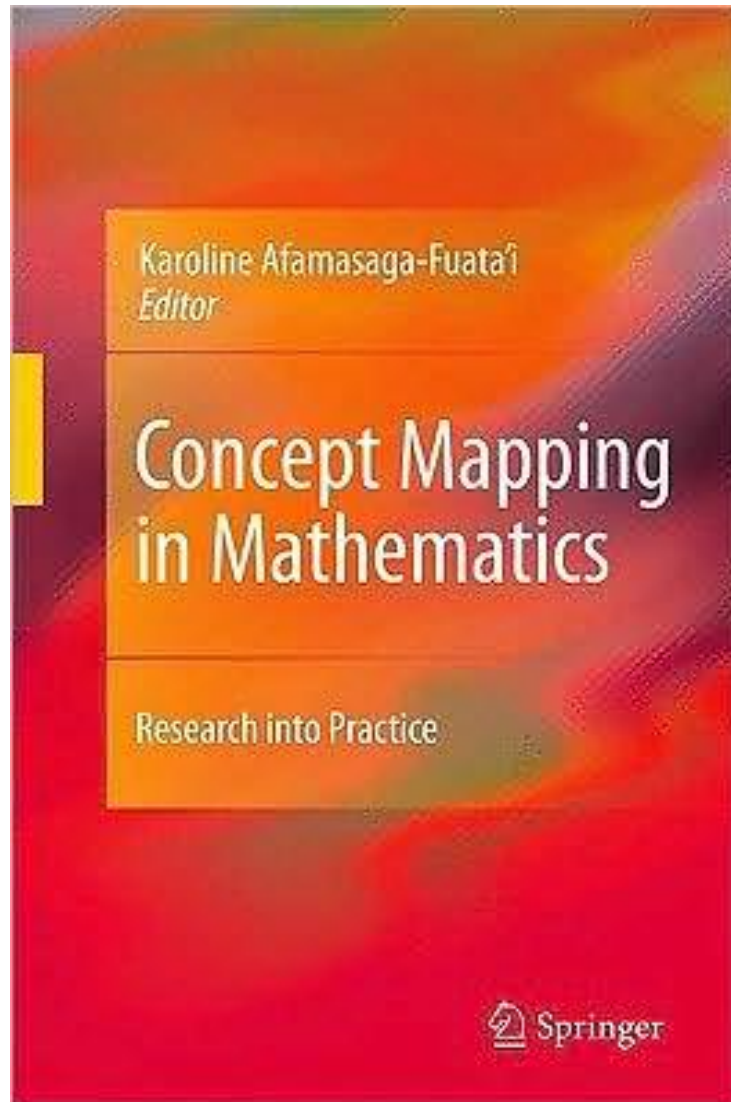
Visible Learning and Reasoning



Visible Learning and Reasoning



Visible Learning and Reasoning



Chapter 1

The Development and Evolution of the Concept Mapping Tool Leading to a New Model for Mathematics Education

Joseph D. Novak and Alberto J. Cañas

PROFILES in nursery school



Degradation and environmental deterioration



Degradation and environmental deterioration



PROGETTO AMBINFANZIA

L DEGRADO AMBIENTALE

... IN SPIAGGIA



... A MENSA



ESPERIMENTO:

OSSERVIAMO COSA ACCADE AD ALCUNI RIFIUTI SOTTO TERRA O NELL'ACQUA:

LA MELA



LA CARTA



IL POLISTIROLO



LA LATTINA



PROFILES in elementary schools








Kneaded, Cooked and Eaten

Two classes are involved: primary three and primary five

A very ambitious project was planned

Kneaded, Cooked and Eaten

The project consisted in:

-  **the study of the pack**
-  **the selection of material for disposal**
-  **the analysis of the barcode**
-  **the search of the recipe**
-  **the informed purchase of ingredients**

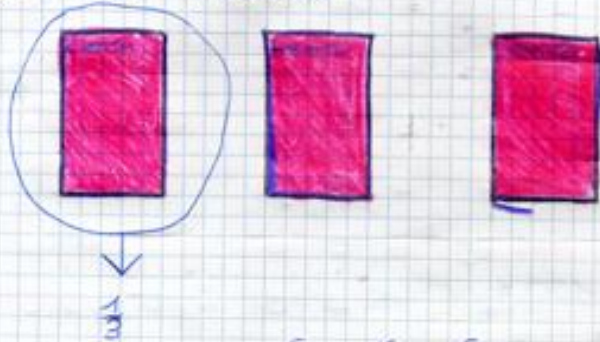
Kneaded, Cooked and Eaten

- the work in the school kitchen
- the calculation of the cost of production
- discussion of the promotional campaign
- the realization of the packaging
- the preparation of the presentation to the parents and the school

Visible thinking

LIEVITO 3 buste a 1,45 €

Ne abbiamo usate 1 busta cioè



$$\begin{array}{r}
 \text{€} \quad \text{€} \quad \text{€} \\
 \begin{array}{r}
 1 \quad 4 \quad 5 \quad | \quad 3 \\
 \hline
 1 \quad 4 \quad \quad | \quad 0,48 \\
 \quad \quad 25 \quad | \\
 \quad \quad \quad 1
 \end{array}
 \end{array}$$

VANILLINA 6 buste a 9,75 €

Ne abbiamo usate 1 busta cioè



Venerdì 3 Giugno 2013

PROBLEMA

se impasto

- 500 g di farina;
- 200 g di zucchero;
- 200 g di burro;
- 1 bustina di lievito (16 g);
- 1 bustina di vanillina (0,5 g);
- la buccia grattugiata di 1 limone;
- 2 uova intere + 1 tuorlo (116 g).

per 2 biscotti
Quanta pasta Volongò?

Non considerano gli aromi:

(Vanillina e limone)

Se con l'impasto ottenuto preparo biscotti che pesano 8 g l'uno circa.

Quanti biscotti riuscirò a preparare?

SPIEGO IL MIO RAGIONAMENTO

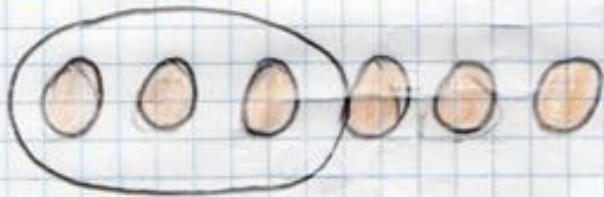
Per trovare quanta pasta ottengo devo fare un'

addizione tra i g della farina più quelli ^{della buccia} ~~dei~~ quelli
dell'uovo più quelli del lievito più quelli
della uova e dei tuorli.

Visible thinking

UOVA 6 a 1,90 €

Ne abbiamo usate 3



$\frac{1}{2}$

€ d€ c€

1, 9 0 2

1 9

= 0,95

1 0

11

Martedì 4 giugno 2013

QUANTO COSTANO I NOSTRI BISCOTTI

FARINA → 1 kg a 0,73 €

Ne abbiamo usata 500g.



cioè la metà ($\frac{1}{2}$)

€ d€ c€

0, 7 3 2

11 7 3

= 0,36

133
1



FABBRICA DI AGRICOLTURA
POLVERE
GRAN MUGNAIO
FIORETTO
MACINATO
Spadoni

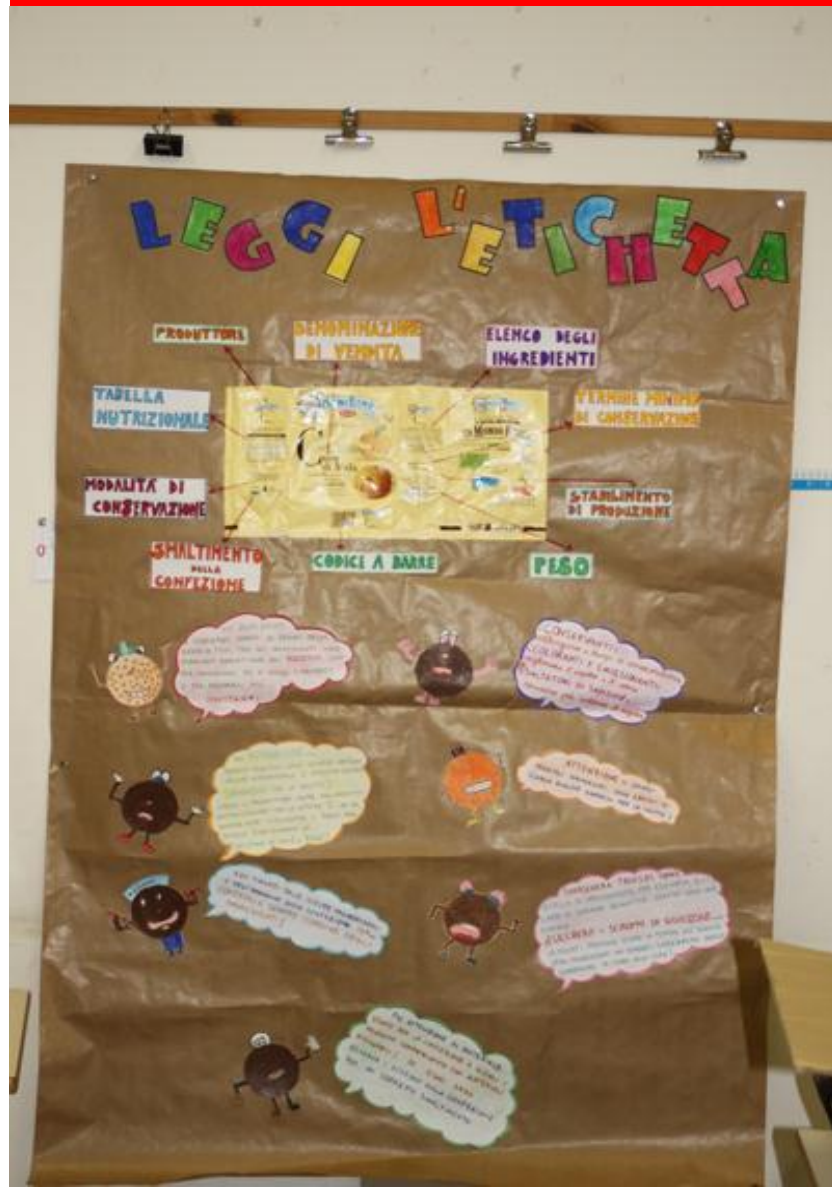
Magiche
Facciamo
per tutta la
preparazione
Tipo T

PRODOTTO
ITALIANO

FACILE
DA USARE

Est. 1989
Action Dept.

Concept map



Martedì 29 Gennaio 2013

Osservazioni sul decanomio

Il decanomio è la tabella della moltiplicazione fatta con rettangoli e quadrati.

* Sulla diagonale rosa trovo tutti i prodotti di fattori uguali. Questi sono tutti di forma quadrata.

PERCIÒ

1-4-9-16-25-36-49-64-81-100 si chiamano numeri quadrati.

*

$$4 \times 8$$

$$8 \times 4$$

QUINDI...

se $4 \times 8 = 8 \times 4$ allora applico la proprietà commutativa

I due rettangoli sono congruenti (= se li ritaglio e li sovrappongo combaciano perfettamente).

* E intaglio...

$$6 \times 7$$

$$6 \times 7 = 42$$



$$6 \times 5$$

+

$$6 \times 2$$

$$(6 \times 5) + (6 \times 2) = 30 + 12 = 42$$

Cooperative learning

- 1° PRES. POSSIBILE → DANIELE
 2° DISEGNATORE → ETNAU
 3° DISEGNATORE → MATTIA
 4° SEGRETARIO → GIANLUCA

GRUPPO:

NOME: CIOCCHIWI

SCADENZA: 12-06-13 12:06

PESO: 200g

BISCOTTI FROLLINI CON SCAGLIE
 DI CIOCCOLATO FONDETE E SCORZA
 D'ARANCIA. INGREDIENTI:

FARINA DI FRUMENTO, ZUCCHERO, GRAVELLA DI CIOCCOLATO
 FONDETE 15% (ZUCCHERO, PASTA DI CACAO, BURRO DI CACAO,
 EMULSIONANTE: LECITINA DI SOIA, AROMA: VANIGLIA), GRASSO
 VEGETALE NON IDROGENATO, SCORZE DI ARANCIA CANDITA 6%
 (SIROPO DI GLUCOSIO-FRUTTOSI, SCORZE D'ARANCIA, SACCAROSIO,
 AROMI NATURALI), BURRO, UOVA, MIELE, SALE, AGENTI LIEVITANTI
 (CARBONATO ACIDO DI SODIO, TARTRATO, MONO POTASSICO),
 AROMI.

THE WOLVES

INFORMAZIONI NUTRIZIONALI: CIOCCHIWI

VALORI MEDI	PER 100g	PER PEZZO 35g
VALORE ENERGETICO	Kcal 493	42
	KJ 2068	176
PROTEINE	g 6,5	0,6
CARBOIDRATI	g 66,3	5,6
di cui ZUCCHERI	g 27,0	2,3
GRASSI	g 22,0	1,9
di cui SATURI	g 12,4	1,1
FIBRE	g 2,0	0,2
SODIO	g 0,200	0,07

The packaging





THE CHARLIE'S CANDIES

For his birthday Charlie has received a gift box with 28 candies

Charlie is a very greedy baby and every day eats twice the previous day and in three days has eaten all

How many candies Charlie ate in each day?



Explain how you found out

Fifth grade pupil

2^a IPOTESI

1 ^o giorno	2 ^o giorno	3 ^o giorno
1 ^a parte	2 ^a parte	3 ^a parte

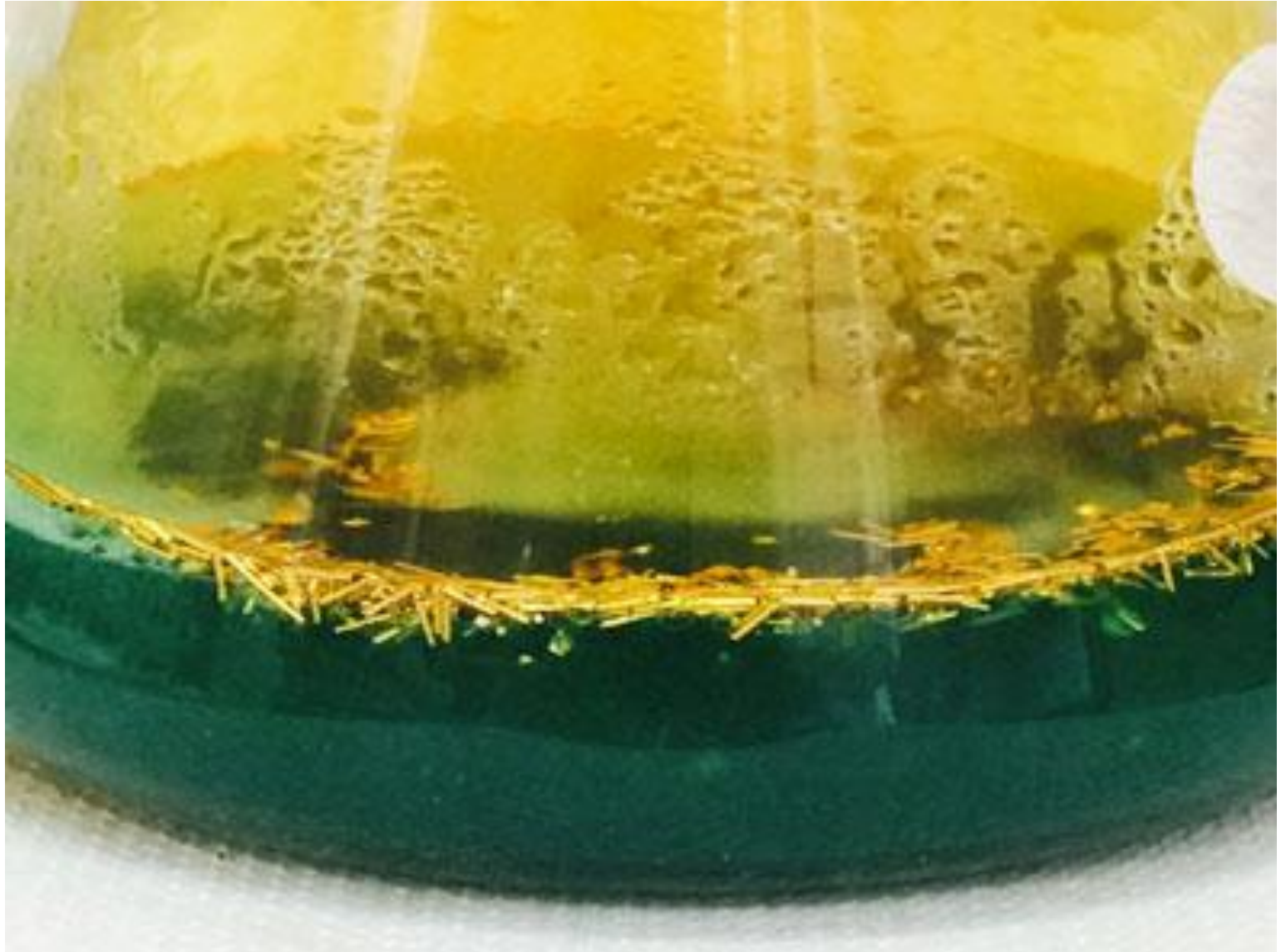
in 3 giorni = 7 parti (cioè 28 caramelle)

$$1^{\circ} \text{ giorno} = 28 : 7 = 4$$

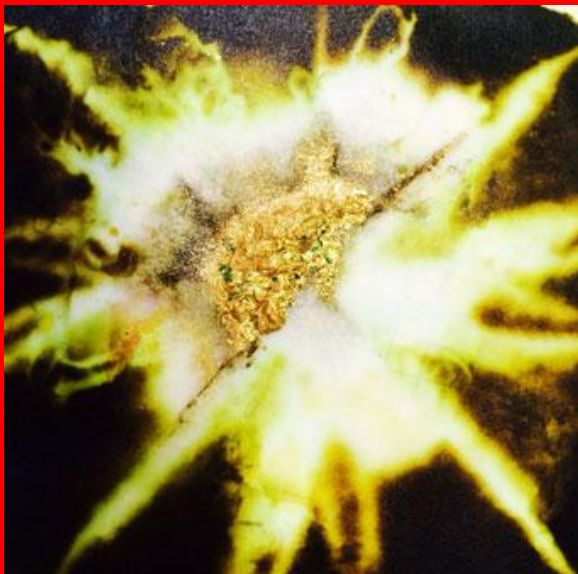
$$2^{\circ} \text{ giorno} = 4 \times 2 = 8$$

$$3^{\circ} \text{ giorno} = 4 \times 4 = 16$$

PROFILES in high schools



PROFILES in high schools





Chemistry and Biology ... What a Pizza!!!

Daniela Bianchini, Francesca Maria Foresi
I.I.S. Corridoni-Campana, Osimo; Italy

Background

With the aim of increasing the interest, motivation, and active involvement of the students in the processes of learning and studying, a didactic module suitable for learning important concepts in Biology and Chemistry has been developed

Background

Through the module, the idea was to introduce the students to the study of biology and chemistry by means of **a daily life phenomena**

Pizza is a food very popular among teenagers and featuring strongly, together with pasta dishes, in Italian gastronomy

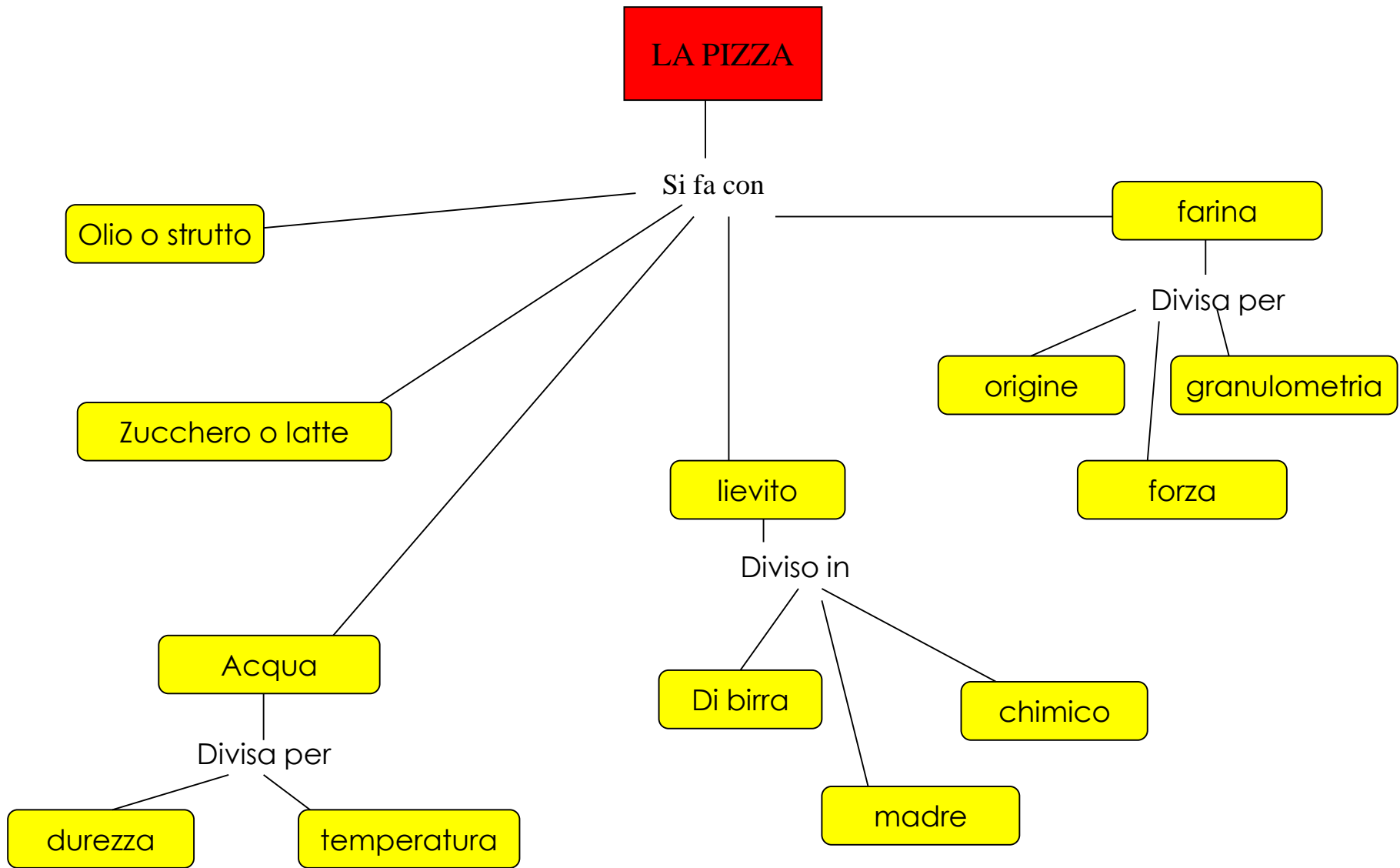
Scientific Goals

Scientifically, this grade 10 (second year of secondary school) science (biology and chemistry) module is about fermentation and chemical reactions

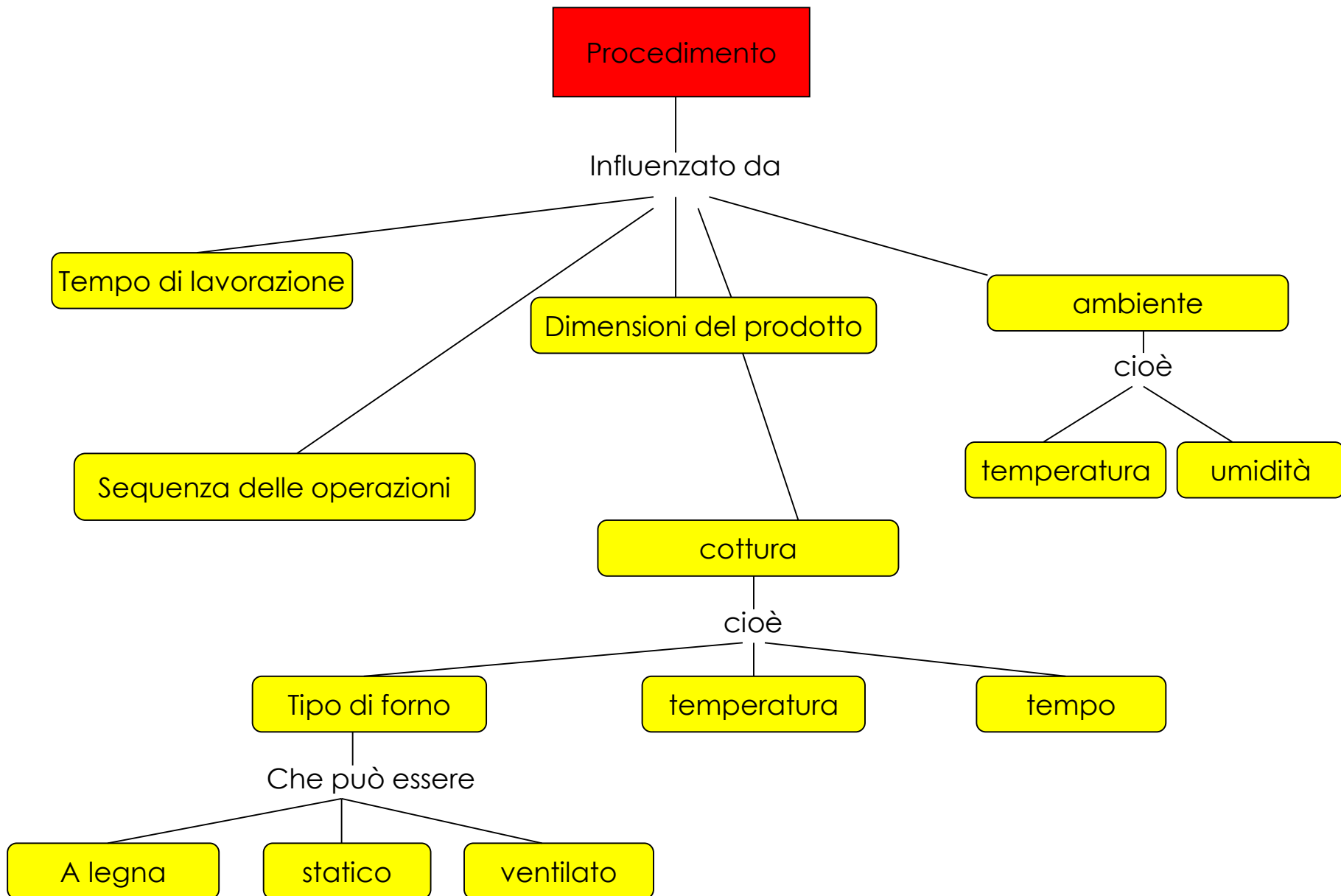
Educational goals

- **increase students' motivation**
- **increase self-esteem**
- **increase social abilities**
- **leadership, and communication skills**
- **group and experimental work**





Continua...







Didactic objectives

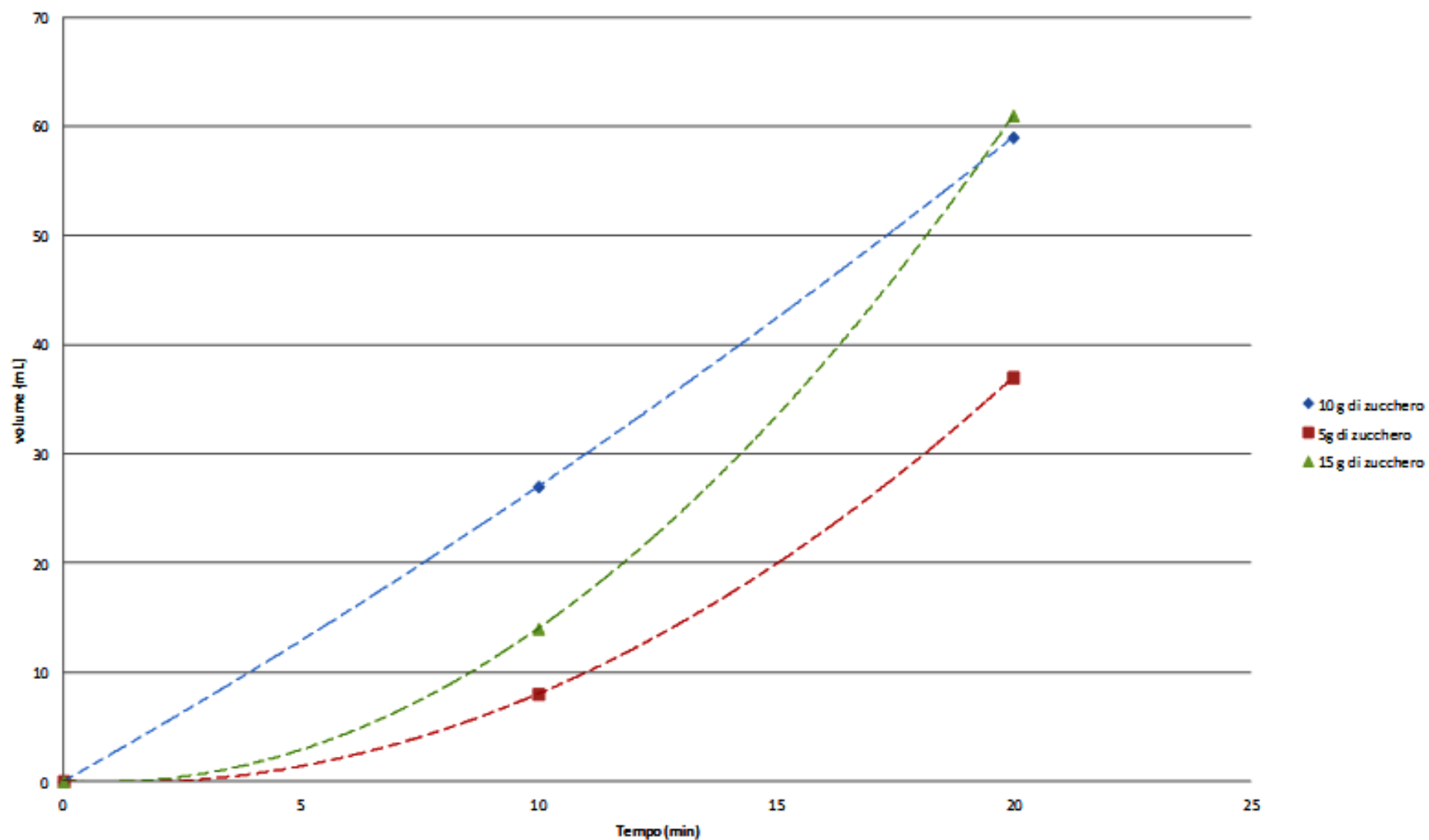
- To use the inquiry scientific method to study a phenomenon (the leavening)
- To identify the variables that influence the success of a complex phenomenon
- To study the effect of some parameters taking constant other variables

Didactic objectives

(such as the temperature, the sugar, the change of the ingredients)

- **To identify the most suitable experimental tests to verify the initial hypothesis**

Volume di CO₂ prodotta



In the kitchen

The work was carried out in laboratories of chemistry and science, and in a kitchen for cooking pizza

Three classes were involved and, with reference to the educational needs related to ministerial curricula, emphasis to biological/biochemical aspects – and chemical kinetic was given





... at the university



Cmaps & Summaries



SOLUZIONI II

LEGAMI

GEOM

ATOMO

REAZIONI

ACIDI E BASI

ENIMI

TITO

CITROF

LE PILE

PROBLEM SC

MINI-ATL

INSTRUMENTAZIONE

ELEMENTI

Capitolo 1

Introduzione

Obiettivi

Conclusione

PROBLEMA

LE PILE

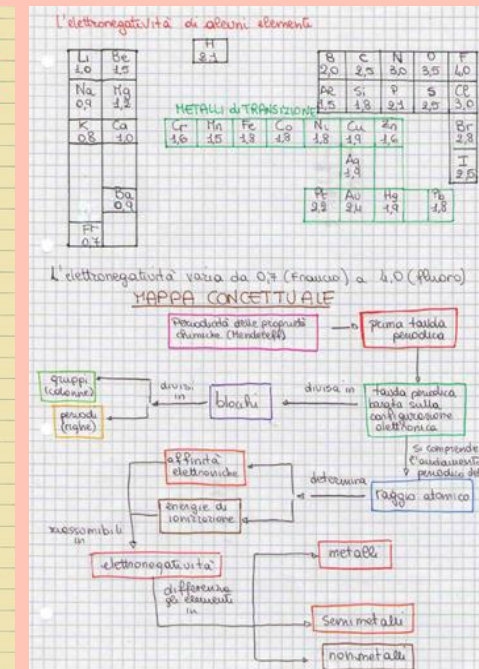
PROBLEMA

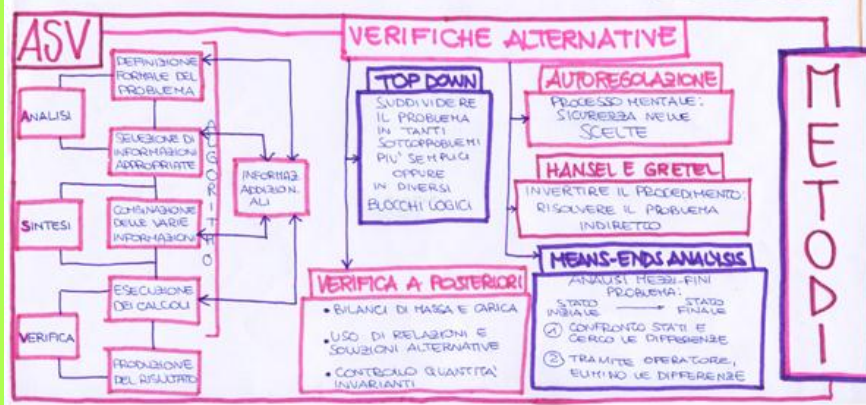
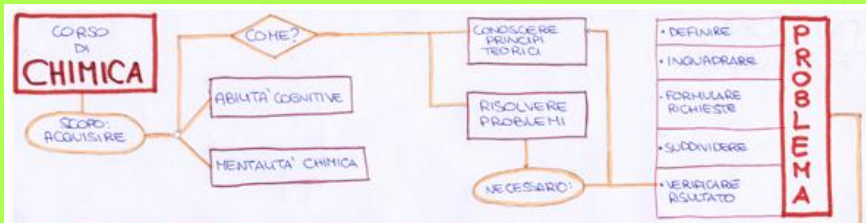
PROBLEMA

PROBLEMA

PROBLEMA

PROBLEMA





orbitali atomici

orbitali atomici di forme diverse ma di energia identica possono combinarsi formando un altro insieme di orbitali, ma solo energeticamente e spazialmente equivalenti.

Idro 1s: $\psi = \frac{1}{\sqrt{\pi}} e^{-r/a_0}$

Idro 2p: $\psi = \frac{1}{\sqrt{32\pi}} e^{-r/2a_0} \cos\theta$

Idro 2s: $\psi = \frac{1}{\sqrt{32\pi}} e^{-r/2a_0} (2 - r/a_0)$

Idro 3s: $\psi = \frac{1}{\sqrt{32\pi}} e^{-r/3a_0} (27 - 18r/a_0 + 2r^2/a_0^2)$

Idro 3p: $\psi = \frac{1}{\sqrt{32\pi}} e^{-r/3a_0} (6 - 4r/a_0 + r^2/a_0^2) \cos\theta$

Idro 3d: $\psi = \frac{1}{\sqrt{32\pi}} e^{-r/3a_0} (r/a_0)^2 \cos^2\theta$

Idro 4s: $\psi = \frac{1}{\sqrt{32\pi}} e^{-r/4a_0} (16 - 8r/a_0 + r^2/a_0^2 - r^3/8a_0^3)$

Idro 4p: $\psi = \frac{1}{\sqrt{32\pi}} e^{-r/4a_0} (4 - 3r/a_0 + r^2/4a_0^2) \cos\theta$

Idro 4d: $\psi = \frac{1}{\sqrt{32\pi}} e^{-r/4a_0} (r/a_0)^2 (4 - 3r/a_0 + r^2/4a_0^2) \cos^2\theta$

Idro 4f: $\psi = \frac{1}{\sqrt{32\pi}} e^{-r/4a_0} (r/a_0)^3 (4 - 3r/a_0 + r^2/4a_0^2) \cos^3\theta$

Idro 5s: $\psi = \frac{1}{\sqrt{32\pi}} e^{-r/5a_0} (125 - 150r/a_0 + 60r^2/a_0^2 - 10r^3/a_0^3 + r^4/125a_0^4)$

Idro 5p: $\psi = \frac{1}{\sqrt{32\pi}} e^{-r/5a_0} (25 - 30r/a_0 + 12r^2/a_0^2 - r^3/5a_0^3) \cos\theta$

Idro 5d: $\psi = \frac{1}{\sqrt{32\pi}} e^{-r/5a_0} (r/a_0)^2 (25 - 30r/a_0 + 12r^2/a_0^2 - r^3/5a_0^3) \cos^2\theta$

Idro 5f: $\psi = \frac{1}{\sqrt{32\pi}} e^{-r/5a_0} (r/a_0)^3 (25 - 30r/a_0 + 12r^2/a_0^2 - r^3/5a_0^3) \cos^3\theta$

Idro 6s: $\psi = \frac{1}{\sqrt{32\pi}} e^{-r/6a_0} (216 - 360r/a_0 + 240r^2/a_0^2 - 60r^3/a_0^3 + 5r^4/1296a_0^4)$

Idro 6p: $\psi = \frac{1}{\sqrt{32\pi}} e^{-r/6a_0} (36 - 60r/a_0 + 36r^2/a_0^2 - 5r^3/108a_0^3) \cos\theta$

Idro 6d: $\psi = \frac{1}{\sqrt{32\pi}} e^{-r/6a_0} (r/a_0)^2 (36 - 60r/a_0 + 36r^2/a_0^2 - 5r^3/108a_0^3) \cos^2\theta$

Idro 6f: $\psi = \frac{1}{\sqrt{32\pi}} e^{-r/6a_0} (r/a_0)^3 (36 - 60r/a_0 + 36r^2/a_0^2 - 5r^3/108a_0^3) \cos^3\theta$

Idro 7s: $\psi = \frac{1}{\sqrt{32\pi}} e^{-r/7a_0} (2401 - 4752r/a_0 + 3528r^2/a_0^2 - 1232r^3/a_0^3 + 176r^4/2401a_0^4 - r^5/2401a_0^5)$

Idro 7p: $\psi = \frac{1}{\sqrt{32\pi}} e^{-r/7a_0} (49 - 105r/a_0 + 70r^2/a_0^2 - 7r^3/49a_0^3) \cos\theta$

Idro 7d: $\psi = \frac{1}{\sqrt{32\pi}} e^{-r/7a_0} (r/a_0)^2 (49 - 105r/a_0 + 70r^2/a_0^2 - 7r^3/49a_0^3) \cos^2\theta$

Idro 7f: $\psi = \frac{1}{\sqrt{32\pi}} e^{-r/7a_0} (r/a_0)^3 (49 - 105r/a_0 + 70r^2/a_0^2 - 7r^3/49a_0^3) \cos^3\theta$

Idro 8s: $\psi = \frac{1}{\sqrt{32\pi}} e^{-r/8a_0} (16384 - 40960r/a_0 + 39424r^2/a_0^2 - 22016r^3/a_0^3 + 5376r^4/a_0^4 - 448r^5/16384a_0^5 + r^6/16384a_0^6)$

Idro 8p: $\psi = \frac{1}{\sqrt{32\pi}} e^{-r/8a_0} (64 - 168r/a_0 + 126r^2/a_0^2 - 14r^3/64a_0^3) \cos\theta$

Idro 8d: $\psi = \frac{1}{\sqrt{32\pi}} e^{-r/8a_0} (r/a_0)^2 (64 - 168r/a_0 + 126r^2/a_0^2 - 14r^3/64a_0^3) \cos^2\theta$

Idro 8f: $\psi = \frac{1}{\sqrt{32\pi}} e^{-r/8a_0} (r/a_0)^3 (64 - 168r/a_0 + 126r^2/a_0^2 - 14r^3/64a_0^3) \cos^3\theta$

Idro 9s: $\psi = \frac{1}{\sqrt{32\pi}} e^{-r/9a_0} (531441 - 1312200r/a_0 + 1216656r^2/a_0^2 - 672000r^3/a_0^3 + 176000r^4/a_0^4 - 22400r^5/531441a_0^5 + r^6/531441a_0^6)$

Idro 9p: $\psi = \frac{1}{\sqrt{32\pi}} e^{-r/9a_0} (81 - 216r/a_0 + 162r^2/a_0^2 - 18r^3/81a_0^3) \cos\theta$

Idro 9d: $\psi = \frac{1}{\sqrt{32\pi}} e^{-r/9a_0} (r/a_0)^2 (81 - 216r/a_0 + 162r^2/a_0^2 - 18r^3/81a_0^3) \cos^2\theta$

Idro 9f: $\psi = \frac{1}{\sqrt{32\pi}} e^{-r/9a_0} (r/a_0)^3 (81 - 216r/a_0 + 162r^2/a_0^2 - 18r^3/81a_0^3) \cos^3\theta$

Idro 10s: $\psi = \frac{1}{\sqrt{32\pi}} e^{-r/10a_0} (100000000 - 250000000r/a_0 + 231840000r^2/a_0^2 - 125000000r^3/a_0^3 + 35168000r^4/a_0^4 - 5120000r^5/100000000a_0^5 + r^6/100000000a_0^6)$

Idro 10p: $\psi = \frac{1}{\sqrt{32\pi}} e^{-r/10a_0} (100 - 300r/a_0 + 225r^2/a_0^2 - 25r^3/100a_0^3) \cos\theta$

Idro 10d: $\psi = \frac{1}{\sqrt{32\pi}} e^{-r/10a_0} (r/a_0)^2 (100 - 300r/a_0 + 225r^2/a_0^2 - 25r^3/100a_0^3) \cos^2\theta$

Idro 10f: $\psi = \frac{1}{\sqrt{32\pi}} e^{-r/10a_0} (r/a_0)^3 (100 - 300r/a_0 + 225r^2/a_0^2 - 25r^3/100a_0^3) \cos^3\theta$

Idro 11s: $\psi = \frac{1}{\sqrt{32\pi}} e^{-r/11a_0} (177147000000 - 44286750000r/a_0 + 41118720000r^2/a_0^2 - 22149000000r^3/a_0^3 + 6182400000r^4/a_0^4 - 844800000r^5/177147000000a_0^5 + r^6/177147000000a_0^6)$

Idro 11p: $\psi = \frac{1}{\sqrt{32\pi}} e^{-r/11a_0} (121 - 363r/a_0 + 272r^2/a_0^2 - 27r^3/121a_0^3) \cos\theta$

Idro 11d: $\psi = \frac{1}{\sqrt{32\pi}} e^{-r/11a_0} (r/a_0)^2 (121 - 363r/a_0 + 272r^2/a_0^2 - 27r^3/121a_0^3) \cos^2\theta$

Idro 11f: $\psi = \frac{1}{\sqrt{32\pi}} e^{-r/11a_0} (r/a_0)^3 (121 - 363r/a_0 + 272r^2/a_0^2 - 27r^3/121a_0^3) \cos^3\theta$

Idro 12s: $\psi = \frac{1}{\sqrt{32\pi}} e^{-r/12a_0} (177147000000 - 44286750000r/a_0 + 41118720000r^2/a_0^2 - 22149000000r^3/a_0^3 + 6182400000r^4/a_0^4 - 844800000r^5/177147000000a_0^5 + r^6/177147000000a_0^6)$

Idro 12p: $\psi = \frac{1}{\sqrt{32\pi}} e^{-r/12a_0} (144 - 432r/a_0 + 324r^2/a_0^2 - 36r^3/144a_0^3) \cos\theta$

Idro 12d: $\psi = \frac{1}{\sqrt{32\pi}} e^{-r/12a_0} (r/a_0)^2 (144 - 432r/a_0 + 324r^2/a_0^2 - 36r^3/144a_0^3) \cos^2\theta$

Idro 12f: $\psi = \frac{1}{\sqrt{32\pi}} e^{-r/12a_0} (r/a_0)^3 (144 - 432r/a_0 + 324r^2/a_0^2 - 36r^3/144a_0^3) \cos^3\theta$

Idro 13s: $\psi = \frac{1}{\sqrt{32\pi}} e^{-r/13a_0} (282429536481 - 70607384121r/a_0 + 66113177664r^2/a_0^2 - 35937184000r^3/a_0^3 + 9856256000r^4/a_0^4 - 1280000000r^5/282429536481a_0^5 + r^6/282429536481a_0^6)$

Idro 13p: $\psi = \frac{1}{\sqrt{32\pi}} e^{-r/13a_0} (169 - 507r/a_0 + 396r^2/a_0^2 - 39r^3/169a_0^3) \cos\theta$

Idro 13d: $\psi = \frac{1}{\sqrt{32\pi}} e^{-r/13a_0} (r/a_0)^2 (169 - 507r/a_0 + 396r^2/a_0^2 - 39r^3/169a_0^3) \cos^2\theta$

Idro 13f: $\psi = \frac{1}{\sqrt{32\pi}} e^{-r/13a_0} (r/a_0)^3 (169 - 507r/a_0 + 396r^2/a_0^2 - 39r^3/169a_0^3) \cos^3\theta$

Idro 14s: $\psi = \frac{1}{\sqrt{32\pi}} e^{-r/14a_0} (379612736000 - 94903184000r/a_0 + 88812160000r^2/a_0^2 - 47942400000r^3/a_0^3 + 12857600000r^4/a_0^4 - 1600000000r^5/379612736000a_0^5 + r^6/379612736000a_0^6)$

Idro 14p: $\psi = \frac{1}{\sqrt{32\pi}} e^{-r/14a_0} (196 - 588r/a_0 + 459r^2/a_0^2 - 42r^3/196a_0^3) \cos\theta$

Idro 14d: $\psi = \frac{1}{\sqrt{32\pi}} e^{-r/14a_0} (r/a_0)^2 (196 - 588r/a_0 + 459r^2/a_0^2 - 42r^3/196a_0^3) \cos^2\theta$

Idro 14f: $\psi = \frac{1}{\sqrt{32\pi}} e^{-r/14a_0} (r/a_0)^3 (196 - 588r/a_0 + 459r^2/a_0^2 - 42r^3/196a_0^3) \cos^3\theta$

Idro 15s: $\psi = \frac{1}{\sqrt{32\pi}} e^{-r/15a_0} (4747571250000 - 1186892812500r/a_0 + 1105881600000r^2/a_0^2 - 598368000000r^3/a_0^3 + 156160000000r^4/a_0^4 - 20000000000r^5/4747571250000a_0^5 + r^6/4747571250000a_0^6)$

Idro 15p: $\psi = \frac{1}{\sqrt{32\pi}} e^{-r/15a_0} (225 - 675r/a_0 + 522r^2/a_0^2 - 45r^3/225a_0^3) \cos\theta$

Idro 15d: $\psi = \frac{1}{\sqrt{32\pi}} e^{-r/15a_0} (r/a_0)^2 (225 - 675r/a_0 + 522r^2/a_0^2 - 45r^3/225a_0^3) \cos^2\theta$

Idro 15f: $\psi = \frac{1}{\sqrt{32\pi}} e^{-r/15a_0} (r/a_0)^3 (225 - 675r/a_0 + 522r^2/a_0^2 - 45r^3/225a_0^3) \cos^3\theta$

Idro 16s: $\psi = \frac{1}{\sqrt{32\pi}} e^{-r/16a_0} (58207680000000 - 14551920000000r/a_0 + 13692864000000r^2/a_0^2 - 7381760000000r^3/a_0^3 + 1920000000000r^4/a_0^4 - 240000000000r^5/58207680000000a_0^5 + r^6/58207680000000a_0^6)$

Idro 16p: $\psi = \frac{1}{\sqrt{32\pi}} e^{-r/16a_0} (256 - 768r/a_0 + 594r^2/a_0^2 - 48r^3/256a_0^3) \cos\theta$

Idro 16d: $\psi = \frac{1}{\sqrt{32\pi}} e^{-r/16a_0} (r/a_0)^2 (256 - 768r/a_0 + 594r^2/a_0^2 - 48r^3/256a_0^3) \cos^2\theta$

Idro 16f: $\psi = \frac{1}{\sqrt{32\pi}} e^{-r/16a_0} (r/a_0)^3 (256 - 768r/a_0 + 594r^2/a_0^2 - 48r^3/256a_0^3) \cos^3\theta$

Idro 17s: $\psi = \frac{1}{\sqrt{32\pi}} e^{-r/17a_0} (722071833600000 - 180517958400000r/a_0 + 17000000000000r^2/a_0^2 - 9375000000000r^3/a_0^3 + 2400000000000r^4/a_0^4 - 300000000000r^5/722071833600000a_0^5 + r^6/722071833600000a_0^6)$

Idro 17p: $\psi = \frac{1}{\sqrt{32\pi}} e^{-r/17a_0} (289 - 867r/a_0 + 672r^2/a_0^2 - 51r^3/289a_0^3) \cos\theta$

Idro 17d: $\psi = \frac{1}{\sqrt{32\pi}} e^{-r/17a_0} (r/a_0)^2 (289 - 867r/a_0 + 672r^2/a_0^2 - 51r^3/289a_0^3) \cos^2\theta$

Idro 17f: $\psi = \frac{1}{\sqrt{32\pi}} e^{-r/17a_0} (r/a_0)^3 (289 - 867r/a_0 + 672r^2/a_0^2 - 51r^3/289a_0^3) \cos^3\theta$

Idro 18s: $\psi = \frac{1}{\sqrt{32\pi}} e^{-r/18a_0} (884165136000000 - 221041284000000r/a_0 + 20900000000000r^2/a_0^2 - 11500000000000r^3/a_0^3 + 2900000000000r^4/a_0^4 - 360000000000r^5/884165136000000a_0^5 + r^6/884165136000000a_0^6)$

Idro 18p: $\psi = \frac{1}{\sqrt{32\pi}} e^{-r/18a_0} (324 - 972r/a_0 + 756r^2/a_0^2 - 54r^3/324a_0^3) \cos\theta$

Idro 18d: $\psi = \frac{1}{\sqrt{32\pi}} e^{-r/18a_0} (r/a_0)^2 (324 - 972r/a_0 + 756r^2/a_0^2 - 54r^3/324a_0^3) \cos^2\theta$

Idro 18f: $\psi = \frac{1}{\sqrt{32\pi}} e^{-r/18a_0} (r/a_0)^3 (324 - 972r/a_0 + 756r^2/a_0^2 - 54r^3/324a_0^3) \cos^3\theta$

Idro 19s: $\psi = \frac{1}{\sqrt{32\pi}} e^{-r/19a_0} (1088481000000000 - 272120250000000r/a_0 + 25700000000000r^2/a_0^2 - 14000000000000r^3/a_0^3 + 3600000000000r^4/a_0^4 - 450000000000r^5/1088481000000000a_0^5 + r^6/1088481000000000a_0^6)$

Idro 19p: $\psi = \frac{1}{\sqrt{32\pi}} e^{-r/19a_0} (361 - 1083r/a_0 + 846r^2/a_0^2 - 63r^3/361a_0^3) \cos\theta$

Idro 19d: $\psi = \frac{1}{\sqrt{32\pi}} e^{-r/19a_0} (r/a_0)^2 (361 - 1083r/a_0 + 846r^2/a_0^2 - 63r^3/361a_0^3) \cos^2\theta$

Idro 19f: $\psi = \frac{1}{\sqrt{32\pi}} e^{-r/19a_0} (r/a_0)^3 (361 - 1083r/a_0 + 846r^2/a_0^2 - 63r^3/361a_0^3) \cos^3\theta$

Idro 20s: $\psi = \frac{1}{\sqrt{32\pi}} e^{-r/20a_0} (13365328000000000 - 3341332000000000r/a_0 + 313000000000000r^2/a_0^2 - 170000000000000r^3/a_0^3 + 44000000000000r^4/a_0^4 - 5500000000000r^5/13365328000000000a_0^5 + r^6/13365328000000000a_0^6)$

Idro 20p: $\psi = \frac{1}{\sqrt{32\pi}} e^{-r/20a_0} (400 - 1200r/a_0 + 936r^2/a_0^2 - 72r^3/400a_0^3) \cos\theta$

Idro 20d: $\psi = \frac{1}{\sqrt{32\pi}} e^{-r/20a_0} (r/a_0)^2 (400 - 1200r/a_0 + 936r^2/a_0^2 - 72r^3/400a_0^3) \cos^2\theta$

Idro 20f: $\psi = \frac{1}{\sqrt{32\pi}} e^{-r/20a_0} (r/a_0)^3 (400 - 1200r/a_0 + 936r^2/a_0^2 - 72r^3/400a_0^3) \cos^3\theta$

Idro 21s: $\psi = \frac{1}{\sqrt{32\pi}} e^{-r/21a_0} (16250430000000000 - 4062607500000000r/a_0 + 381000000000000r^2/a_0^2 - 210000000000000r^3/a_0^3 + 54000000000000r^4/a_0^4 - 6700000000000r^5/16250430000000000a_0^5 + r^6/16250430000000000a_0^6)$

Idro 21p: $\psi = \frac{1}{\sqrt{32\pi}} e^{-r/21a_0} (441 - 1323r/a_0 + 1026r^2/a_0^2 - 77r^3/441a_0^3) \cos\theta$

Idro 21d: $\psi = \frac{1}{\sqrt{32\pi}} e^{-r/21a_0} (r/a_0)^2 (441 - 1323r/a_0 + 1026r^2/a_0^2 - 77r^3/441a_0^3) \cos^2\theta$

Idro 21f: $\psi = \frac{1}{\sqrt{32\pi}} e^{-r/21a_0} (r/a_0)^3 (441 - 1323r/a_0 + 1026r^2/a_0^2 - 77r^3/441a_0^3) \cos^3\theta$

Idro 22s: $\psi = \frac{1}{\sqrt{32\pi}} e^{-r/22a_0} (19747210000000000 - 4936802500000000r/a_0 + 463000000000000r^2/a_0^2 - 260000000000000r^3/a_0^3 + 66000000000000r^4/a_0^4 - 8200000000000r^5/19747210000000000a_0^5 + r^6/19747210000000000a_0^6)$

Idro 22p: $\psi = \frac{1}{\sqrt{32\pi}} e^{-r/22a_0} (484 - 1452r/a_0 + 1122r^2/a_0^2 - 81r^3/484a_0^3) \cos\theta$

Idro 22d: $\psi = \frac{1}{\sqrt{32\pi}} e^{-r/22a_0} (r/a_0)^2 (484 - 1452r/a_0 + 1122r^2/a_0^2 - 81r^3/484a_0^3) \cos^2\theta$

Idro 22f: $\psi = \frac{1}{\sqrt{32\pi}} e^{-r/22a_0} (r/a_0)^3 (484 - 1452r/a_0 + 1122r^2/a_0^2 - 81r^3/484a_0^3) \cos^3\theta$

Idro 23s: $\psi = \frac{1}{\sqrt{32\pi}} e^{-r/23a_0} (244140625000000000 - 61035156250000000r/a_0 + 5710000000000000r^2/a_0^2 - 3200000000000000r^3/a_0^3 + 810000000000000r^4/a_0^4 - 100000000000000r^5/244140625000000000a_0^5 + r^6/244140625000000000a_0^6)$

Idro 23p: $\psi = \frac{1}{\sqrt{32\pi}} e^{-r/23a_0} (529 - 1587r/a_0 + 1235r^2/a_0^2 - 91r^3/529a_0^3) \cos\theta$

Idro 23d: $\psi = \frac{1}{\sqrt{32\pi}} e^{-r/23a_0} (r/a_0)^2 (529 - 1587r/a_0 + 1235r^2/a_0^2 - 91r^3/529a_0^3) \cos^2\theta$

Idro 23f: $\psi = \frac{1}{\sqrt{32\pi}} e^{-r/23a_0} (r/a_0)^3 (529 - 1587r/a_0 + 1235r^2/a_0^2 - 91r^3/529a_0^3) \cos^3\theta$

Idro 24s: $\psi = \frac{1}{\sqrt{32\pi}} e^{-r/24a_0} (298598400000000000 - 74649600000000000r/a_0 + 7000000000000000r^2/a_0^2 - 3900000000000000r^3/a_0^3 + 1000000000000000r^4/a_0^4 - 125000000000000r^5/298598400000000000a_0^5 + r^6/298598400000000000a_0^6)$

Idro 24p: $\psi = \frac{1}{\sqrt{32\pi}} e^{-r/24a_0} (576 - 1728r/a_0 + 1344r^2/a_0^2 - 96r^3/576a_0^3) \cos\theta$

Idro 24d: $\psi = \frac{1}{\sqrt{32\pi}} e^{-r/24a_0} (r/a_0)^2 (576 - 1728r/a_0 + 1344r^2/a_0^2 - 96r^3/576a_0^3) \cos^2\theta$

Idro 24f: $\psi = \frac{1}{\sqrt{32\pi}} e^{-r/24a_0} (r/a_0)^3 (576 - 1728r/a_0 + 1344r^2/a_0^2 - 96r^3/576a_0^3) \cos^3\theta$

Idro 25s: $\psi = \frac{1}{\sqrt{32\pi}} e^{-r/25a_0} (361271040000000000 - 90317760000000000r/a_0 + 8400000000000000r^2/a_0^2 - 4700000000000000r^3/a_0^3 + 1200000000000000r^4/a_0^4 - 150000000000000r^5/361271040000000000a_0^5 + r^6/361271040000000000a_0^6)$

Idro 25p: $\psi = \frac{1}{\sqrt{32\pi}} e^{-r/25a_0} (625 - 1875r/a_0 + 1450r^2/a_0^2 - 105r^3/625a_0^3) \cos\theta$

Idro 25d: $\psi = \frac{1}{\sqrt{32\pi}} e^{-r/25a_0} (r/a_0)^2 (625 - 1875r/a_0 + 1450r^2/a_0^2 - 105r^3/625a_0^3) \cos^2\theta$

Idro 25f: $\psi = \frac{1}{\sqrt{32\pi}} e^{-r/25a_0} (r/a_0)^3 (625 - 1875r/a_0 + 1450r^2/a_0^2 - 105r^3/625a_0^3) \cos^3\theta$

Idro 26s: $\psi = \frac{1}{\sqrt{32\pi}} e^{-r/26a_0} (438976000000000000 - 109744000000000000r/a_0 + 10200000000000000r^2/a_0^2 - 5700000000000000r^3/a_0^3 + 1500000000000000r^4/a_0^4 - 180000000000000r^5/438976000000000000a_0^5 + r^6/438976000000000000a_0^6)$

Idro 26p: $\psi = \frac{1}{\sqrt{32\pi}} e^{-r/26a_0} (676 - 2028r/a_0 + 1573r^2/a_0^2 - 117r^3/676a_0^3) \cos\theta$

Idro 26d: $\psi = \frac{1}{\sqrt{32\pi}} e^{-r/26a_0} (r/a_0)^2 (676 - 2028r/a_0 + 1573r^2/a_0^2 - 117r^3/676a_0^3) \cos^2\theta$

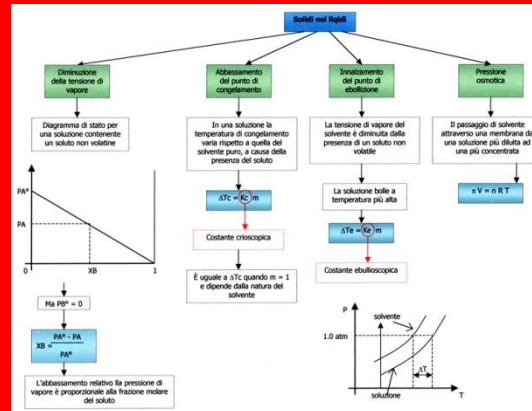
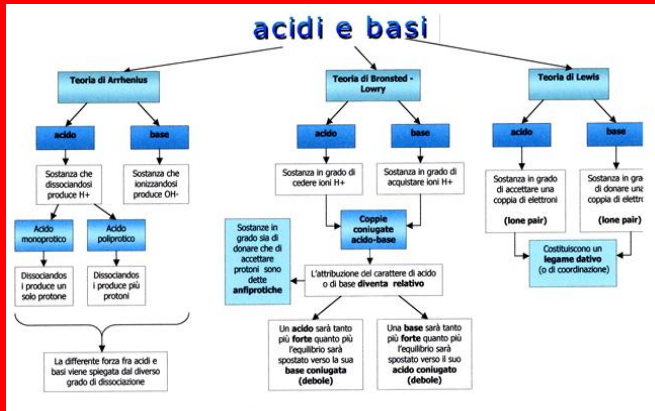
Idro 26f: $\psi = \frac{1}{\sqrt{32\pi}} e^{-r/26a_0} (r/a_0)^3 (676 - 2028r/a_0 + 1573r^2/a_0^2 - 117r^3/676a_0^3) \cos^3\theta$

Idro 27s: $\psi = \frac{1}{\sqrt{32\pi}} e^{-r/27a_0} (531441000000000000 - 132860250000000000r/a_0 + 12400000000000000r^2/a_0^2 - 6900000000000000r^3/a_0^3 + 1800000000000000r^4/a_0^4 - 220000000000000r^5/53144100000000000$

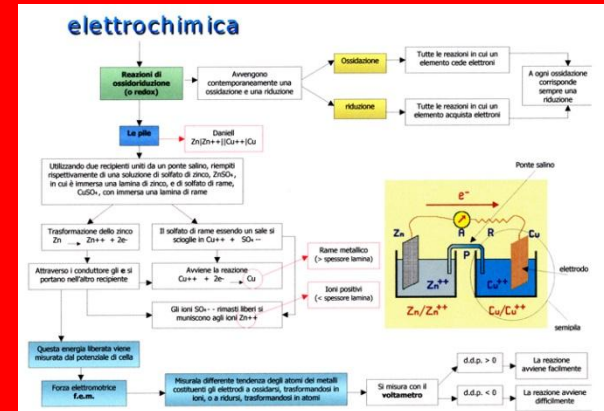


From the same «artist»

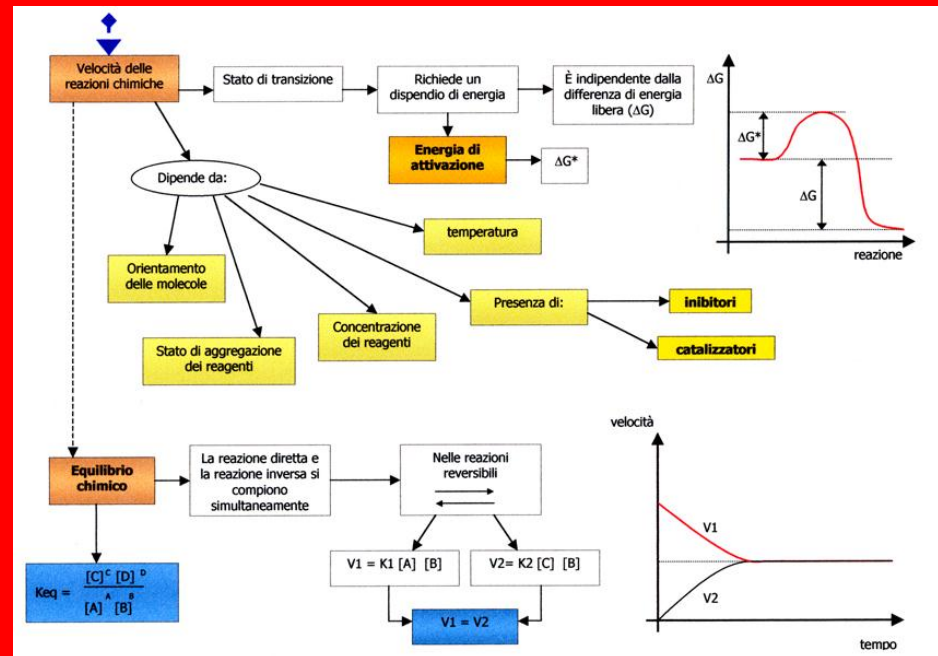
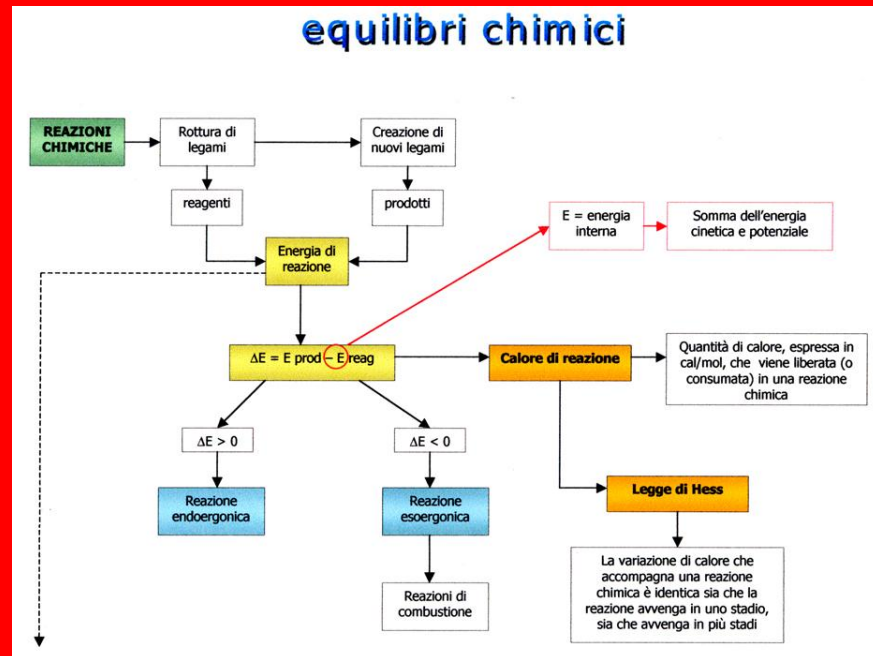
acidi e basi



elettrochimica

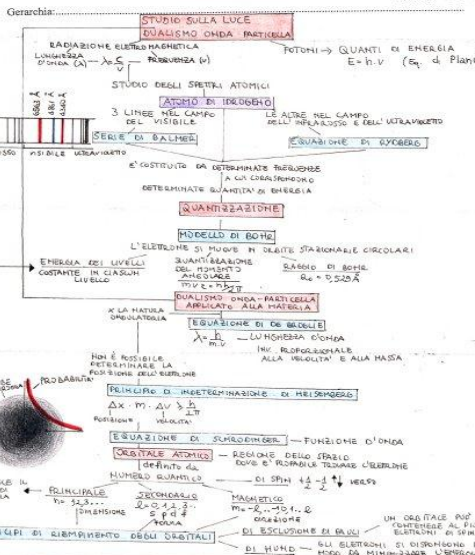


equilibri chimici



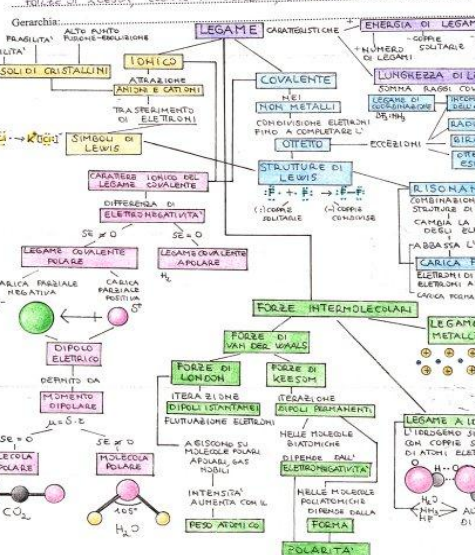
TITOLO: STRUTTURA DELL' ATOMO (Cap. 9) Concetti: STRUTTURA ATOMICA, SPECTRO, LINEE SPECTRALE

Gerarchia: **STRUTTURA DELL' ATOMO** → **STRUTTURA ATOMICA** → **SPECTRO** → **LINEE SPECTRALE** → **CONCETTI DI QUANTITÀ FISICA**



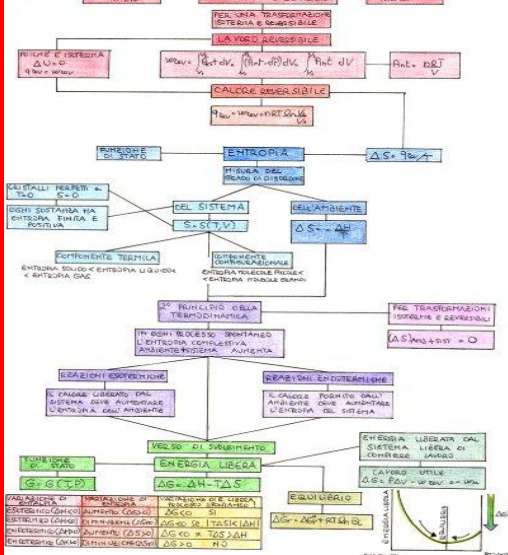
TITOLO: LEGAMI CHIMICI (Cap. 11) Concetti: LEGAME, ENERGIA DI LEGAME, LUNGHEZZA DI LEGAME, ANGOLO DI LEGAME

Gerarchia: **LEGAMI CHIMICI** → **LEGAME** → **ENERGIA DI LEGAME** → **LUNGHEZZA DI LEGAME** → **ANGOLO DI LEGAME**



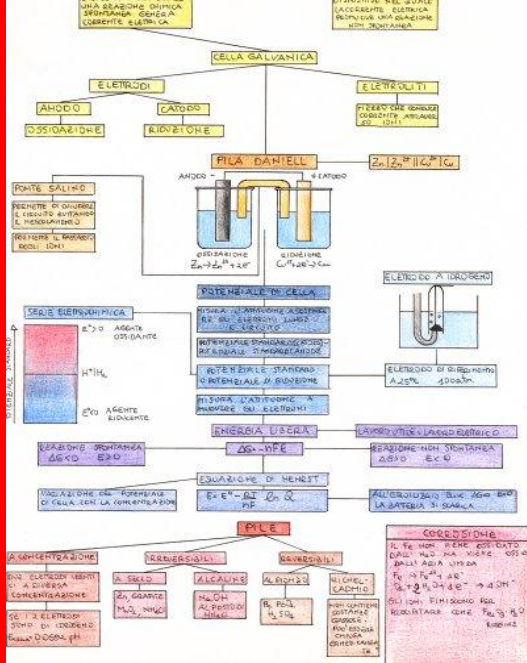
TITOLO: TERMODINAMICA (Cap. 12) Concetti: LEGAME, ENERGIA DI LEGAME, LUNGHEZZA DI LEGAME, ANGOLO DI LEGAME

Gerarchia: **TERMODINAMICA** → **LEGAME** → **ENERGIA DI LEGAME** → **LUNGHEZZA DI LEGAME** → **ANGOLO DI LEGAME**



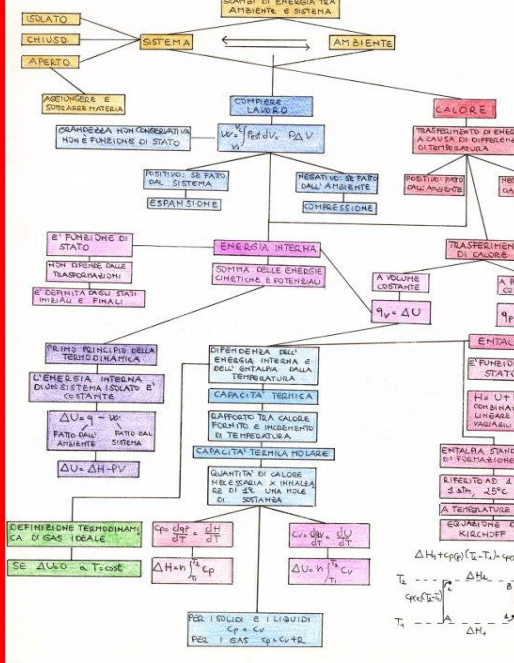
TITOLO: ELETTRICITÀ (Cap. 13) Concetti: CORRENTE ELETTRICA, POTENZIALE ELETTRICO, ENERGIA ELETTRICA

Gerarchia: **ELETTRICITÀ** → **CORRENTE ELETTRICA** → **POTENZIALE ELETTRICO** → **ENERGIA ELETTRICA**



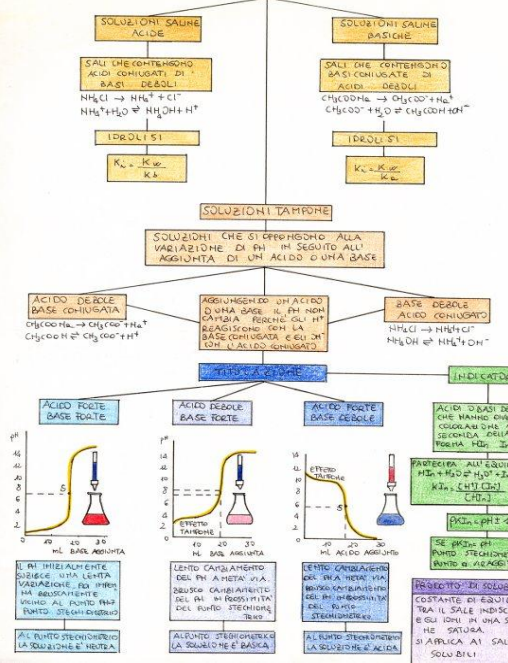
TITOLO: TERMODINAMICA (Cap. 12) Concetti: LEGAME, ENERGIA DI LEGAME, LUNGHEZZA DI LEGAME, ANGOLO DI LEGAME

Gerarchia: **TERMODINAMICA** → **LEGAME** → **ENERGIA DI LEGAME** → **LUNGHEZZA DI LEGAME** → **ANGOLO DI LEGAME**



TITOLO: ACIDI E BASI (Cap. 14) Concetti: ACIDO, BASE, EQUILIBRIO ACIDO-BASICO

Gerarchia: **ACIDI E BASI** → **ACIDO** → **BASE** → **EQUILIBRIO ACIDO-BASICO**



I GAS



I vincoli tra le particelle dei solidi (a) e dei liquidi (b) sono sufficientemente forti da costituire un addensamento della materia.

La differenza a livello microscopico tra lo stato gassoso e gli stati liquido e solido consiste principalmente nella distanza tra le particelle.

Lo stato gassoso invece è quello stato in cui la materia si presenta notevolmente rarefatta.



La **PRESSIONE** è quella grandezza fisica che esprime il rapporto fra la forza applicata e la superficie su cui la forza agisce.

ESPERIENZA DI TORRICELLI

Torricelli, realizzò il primo barometro detto **BAROMETRO TORRICELLIANO**.



LEGGE DI DALTON ($P = \sum P_i$)

La pressione totale di un miscuglio gassoso è uguale alla somma delle pressioni parziali esercitate dai singoli gas nello stesso recipiente.

$$P = P_1 + P_2 + \dots + P_n = \sum P_i$$

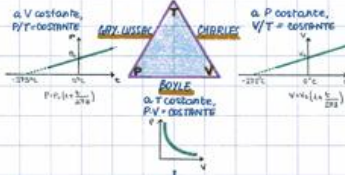
$$P_1 = n_1 R T / V ; P_2 = n_2 R T / V ; \dots ; P_n = n_n R T / V$$

$$P = (n_1 + n_2 + \dots + n_n) R T / V = \sum n_i R T / V$$

$$P = \sum (n_i / \sum n_i) \cdot P = \sum X_i \cdot P$$

(X_i = FRAZIONE MOLARE)

LEGGE DI BOYLE, CHARLES E GAY-LUSSAC



Combinando le leggi di Boyle e Charles si ha la **EQUAZIONE DI STATO DEI GAS**

$$P \cdot V = n \cdot R \cdot T$$

dove **R** è la costante universale dei gas e vale $R = 8,314 \text{ J} \cdot \text{mol}^{-1} \cdot \text{K}^{-1}$

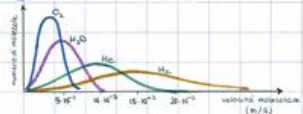
Dall'equazione di stato dei gas si può calcolare la **DENSITA' ASSOLUTA** di un gas

$$d = \frac{P \cdot M}{R \cdot T}$$

Tuttavia i gas reali non soddisfanno l'equazione $P \cdot V = n \cdot R \cdot T$, in quanto assumono comportamenti ben diversi, in certe condizioni, dai gas ideali.

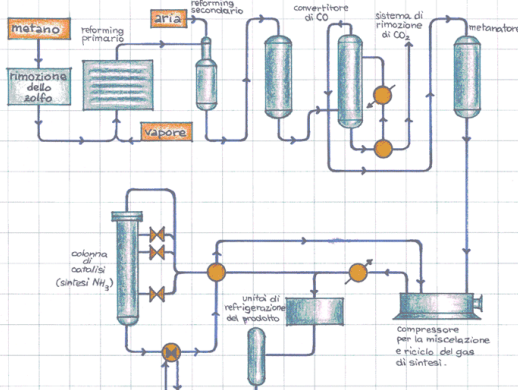
TEORIA CINETICA DEI GAS

Questa teoria stabilisce che la velocità media delle molecole aumenta al diminuire della loro massa. La velocità di una particolare particella cambia continuamente a causa dell'alterato numero di collisioni e al conseguente scambio di energia cinetica.

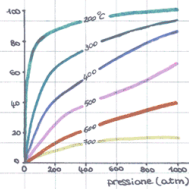
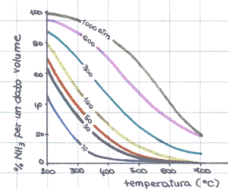


Nel secolo scorso **MAXWELL** e **BOLTZMANN** studiarono la funzione matematica della distribuzione delle velocità molecolari in un gas. La rappresentazione grafica della funzione è:

SINTESI DELL'AMMONIACA



1. **desulfurazione** la zolfo avvelena il catalizzatore.
2. **reforming primario** $\text{CH}_4 + \text{H}_2\text{O} \rightleftharpoons \text{CO} + \text{H}_2$
 $\text{CO} + \text{H}_2\text{O} \rightleftharpoons \text{CO}_2 + \text{H}_2$
3. **reforming secondario** $\text{CH}_4 + \text{O}_2 \rightarrow \text{CO}_2 + 2\text{H}_2\text{O}$
 $2\text{H}_2 + \text{O}_2 \rightarrow 2\text{H}_2\text{O}$
4. **ossidazione CO** $\text{CO} + \text{H}_2\text{O} \rightleftharpoons \text{CO}_2 + \text{H}_2$
5. **rimozione CO₂** Assorbimento su soluzioni alcaline
 $\text{CO}_2 + 2\text{NaOH} \rightarrow \text{Na}_2\text{CO}_3 + \text{H}_2\text{O}$
6. **metanazione** $\text{CO} + 3\text{H}_2 \rightarrow \text{CH}_4 + \text{H}_2\text{O}$
 $\text{CO}_2 + 4\text{H}_2 \rightarrow \text{CH}_4 + 2\text{H}_2\text{O}$
7. **compressione** La pressione passa da 25 atm a 250 atm
8. **sintesi** il reattore opera a 450°C ~ il gas in uscita contiene 15% NH_3



Schema di un impianto industriale per la produzione di ammoniaca

LE SOLUZIONI

Nome: _____
Cognome: _____

Sono miscele omogenee liquide. Se sono miscela di un liquido con un solido o un gas, il liquido viene detto **SOLVENTE**, mentre il solido o il gas **SOLUTO**. Nel caso di miscela liquido-liquido, generalmente quello presente in maggior quantità viene considerato come solvente.

La composizione di una soluzione si esprime attraverso la **CONCENTRAZIONE** della soluzione.

PER CENTO IN PESO

$$\% \text{ in peso} = \frac{\text{grammi soluto}}{100 \text{ grammi di soluzione}}$$

FRAZIONE MOLARE

$$X = \frac{\text{numero di moli soluto}}{\text{numero di moli totali}}$$

MOLARITA'

$$M = \frac{\text{numero di moli soluto}}{\text{numero litri soluzione}}$$

MOLALITA'

$$m = \frac{\text{numero di moli soluto}}{\text{numero chilogrammi solvente}}$$

GAS NEI LIQUIDI

Il rapporto tra la concentrazione dei gas nella fase gassosa e nella fase liquida è costante. **LEGGE DI HENRY**: la massa di gas (m) che si dissolve in un liquido a temperatura costante è proporzionale alla **pressione parziale** del gas.

$$m = k \cdot P$$

Es. hanno solubilità elevata: HCl , HBr , HI , HF , H_2S , NH_3 , SO_2 , Cl_2 ; hanno poca solubilità: N_2 , H_2 , NO , CH_4 ...

Liquidi NEI Liquidi

LEGGE DI RAULT: la **pressione di vapore** (P_A) di un componente A in una soluzione è data dal prodotto della **pressione di vapore del componente A puro** (P_A^0) per la **frazione molare** (X_A) del componente nella soluzione.

$$P_A = X_A \cdot P_A^0 \quad P_B = X_B \cdot P_B^0$$

$$P = X_A \cdot P_A^0 + X_B \cdot P_B^0$$

Es. B è più volatile di A $\Rightarrow P_B^0 > P_A^0$

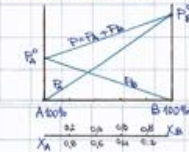
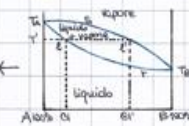
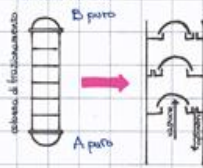


Diagramma Isobaro di una soluzione di due liquidi A e B. T_A^* temperatura di ebollizione di A puro. T_B^* temperatura di ebollizione di B puro. T = curva di equilibrio del liquido. G = composizione del liquido. G' = composizione del vapore.



DISTILLAZIONE

È la trasformazione di un liquido in vapore e successiva condensazione. È usata come mezzo di purificazione, ovvero può separare completamente due componenti (con differenza di volatilità).



ELETTROLITI

Sono quei sali che aumentano la conducibilità della soluzione. **FORTE**: si dissociano completamente. **DEBOLI**: si dissociano parzialmente.

GRADO DI DISSOCIAZIONE (α): è il rapporto tra il numero di molecole dissociate e il numero di molecole iniziali.

SOLITI: $\alpha = 0$
NON ELETTROLITI ($\alpha = 0$)
ELETTROLITI: **DEBOLI** ($0 < \alpha < 1$)
FORTE ($\alpha = 1$)

DIPENDE DA:
1- Natura solvente
2- Natura soluto
3- Temperatura
4- Concentrazione

La **SOLUBILITA'** dipende da:

- 1- Natura solvente
- 2- Natura soluto
- 3- Temperatura
- 4- Pressione

SOLIDI NEI LIQUIDI

a- La **pressione di vapore** è zero, quindi

$$P = X_A \cdot P_A^0 + X_B \cdot P_B^0$$

$$X_B = \frac{P_A^0 - P_A}{P_A^0}$$

b- si abbassa il punto di congelamento

$$\Delta T_c = k_c \cdot m$$

(m = molalità, k_c = costante crioscopica)

c- si innalza il punto di ebollizione

$$\Delta T_e = k_e \cdot m$$

(k_e = costante ebullioscopica)

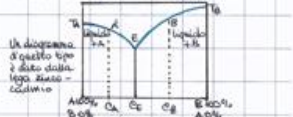


d- Il passaggio di solvente attraverso una membrana da una soluzione più diluita ad una più concentrata prende il nome di **OSMOSI**.

$$\pi = V \cdot n \cdot R \cdot T \quad (\pi = \text{PRESSIONE OSMOTICA})$$

SOLIDI NEI SOLIDI

Nei sistemi a due componenti in equilibrio solido-liquido, il campo di concentrazione si estende da 100% di A a 100% di B.



ANALISI TERMICA

Viene usata per ricavarne i diagrammi di stato delle leghe metalliche.



TEORIA ATOMICA

DALLE LEGGI DELLA CHIMICA

1782 - A. LAVOISIER

LEGGI DELLA CONSERVAZIONE DELLA MASSA
"In ogni reazione chimica, la massa dei prodotti è uguale alla massa dei reagenti"

1799 - J.L. PROUST

LEGGI DELLE PROPORZIONI DEFINITE
"Gli elementi che reagiscono per formare un composto si uniscono sempre secondo un rapporto in peso definito e costante, caratteristico del composto stesso"

Per Dalton gli atomi hanno una massa ed è l'unica caratteristica che permette agli atomi di distinguersi tra loro.

1803 - J. DALTON

LEGGI DELLE PROPORZIONI MULTIPLE
"A una quantità in peso fissa di un elemento corrispondono quantità in peso degli altri che stanno fra loro in rapporti espressi da numeri interi e piccoli"

1808 - DALTON ENUNZIA LA TEORIA ATOMICA (a cui attribuisce la materia fondamentale è che TUTTA LA MATERIA È FORMATA DA ATOMI)

Per i filosofi greci (come Democrito - V sec. a.C.) erano indivisibili e invisibili.

1808 - J.L. GAY-LUSSAC

LEGGI DEI VOLUMI

"I volumi di due gas che si combinano stanno fra loro in un rapporto esprimibile con numeri interi e semplici; se il prodotto è ancora un gas, anche il suo volume è espresso da un numero intero e semplice rispetto ai volumi dei reagenti"

1844 - A. AVOGADRO

PRINCIPIO DI AVOGADRO

Volumi uguali di gas anche diversi, nelle stesse condizioni di temperatura e pressione, contengono lo stesso numero di molecole.

Fossibilità di stabilire una **TABELLA DEI PESI ATOMICI** (atomo di riferimento = H)

1860 - I° CONGRESSO INTERNAZIONALE DI CHIMICA (KARLSRUHE)

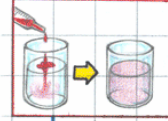
S. CANNIZZARO, basandosi sul principio di Avogadro, propone un utile metodo per la determinazione delle MASSE ATOMICHE.

REGOLA DI CANNIZZARO: permette di stabilire la massa atomica di un determinato elemento quando siano note le masse molecolari di una serie di composti e i contributi percentuali in essi dello stesso elemento.

MATERIA

OMOGENEA

stessa composizione in ogni punto di una certa porzione di materia

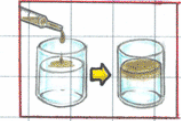


SOLUZIONE

è costituita da molecole diverse

ETEROGENEA

composizione diversa da punto a punto in una certa porzione di materia



SOSTANZA PURA

ELEMENTO

porzione omogenea di materia costituita da atomi della stessa specie.

ES. O_2 , H_2 ...

COMPOSTO

porzione omogenea di materia non costituita da atomi di una sola specie.

ES. H_2O , HCl ...

STATI DI AGGREGAZIONE

LIQUIDO

materia in forma molecolare o ionica. I liquidi assumono la forma del recipiente che li contiene

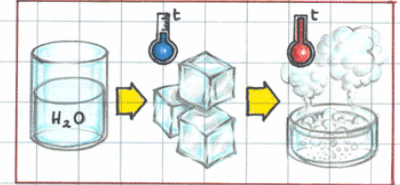
SOLIDO

le molecole, ioni e atomi hanno assunto una distribuzione ordinata formando un cristallo. I solidi conservano la loro forma e hanno un volume specifico.

GASSOSO

materia sempre in forma di molecole, costituita da uno o più atomi legati tra loro. I gas tendono ad espandersi e ad assumere forma e volume del recipiente che li contiene.

una stessa sostanza può passare da uno stato ad un altro a seconda della temperatura e pressione a cui è sottoposta.



LE REAZIONI DI OSSIDO-RIDUZIONE

Sono reazioni chimiche che sono in grado di produrre elettricità. Comportano variazioni del **NUMERO DI OSSIDAZIONE**. Per uno o più elementi



OSSIDAZIONE = reazione in cui un elemento subisce una perdita di elettroni.

RIDUZIONE = reazione in cui un elemento acquista uno o più elettroni.

REGOLE

- Tutti gli atomi allo stato elementare hanno num. di ossidazione 0.
- Il F combinato ha sempre num. di ossidazione -1.
- Nei composti, il num. di ossidazione dei metalli coincide con la valenza, col segno +.
- I numeri di ossidazione devono essere in accordo con la conservazione della carica.
- L'H nei composti ha num. di ossidazione +1; negli idruri metallici ha -1.
- L'O nei composti ha num. di ossidazione -2 eccetto nei composti con legame perossidico, in cui è -1 e in O_2 dove è +2.

AGENTE RIDUCENTE

La specie che perde elettroni.

AGENTE OSSIDANTE

La specie che acquista elettroni.

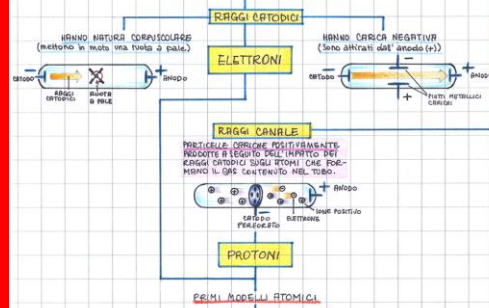
Nell'esempio sopra riportato Fe è agente ossidante, mentre C è riducente.

ATOMO

in greco "non divisibile"

Attraverso lo studio di fenomeni elettrostatici si è scoperta una struttura più complessa.

RICERCHE RELATIVE AL PASSAGGIO DELLA CORRENTE ELETTRICA ATTRAVERSO I GAS



PRIMI MODELLI ATOMICI

1904 - J.J. THOMSON

MODELLO A "PASTICCHIONE"

Il modello (negativo) immerso in una densa nuvola carica positivamente.

1911 - E. RUTHERFORD

ESPERIMENTI CON RAGGI α (nuclei di He)

Dei raggi α (nuclei di He) vennero sparati contro un foglio d'oro. Rutherford osservò che mentre la maggior parte dei raggi attraversavano indisturbata, alcuni venivano deviati, altri addirittura riflessi.

MODELLO PLANETARIO

Un nucleo (carica positiva) con elettroni al quale ruotano tutti gli elettroni.

MODELLO PLANETARIO

Un nucleo (carica positiva) con elettroni al quale ruotano tutti gli elettroni.

MODELLO PLANETARIO

Un nucleo (carica positiva) con elettroni al quale ruotano tutti gli elettroni.

LIQUIDI

Non hanno volume proprio; sono praticamente incompressibili; la densità è più grande rispetto a quella dei gas.

PROPRIETÀ DEI LIQUIDI

FLUIDITÀ E VISCOSITÀ

I liquidi possono scorrere in quanto le loro particelle hanno una forma vicina a quella sferica.



TENSIONE SUPERFICIALE

Ci sono forze attrattive perché le particelle interagiscono; queste forze sono bilanciate nella superficie con una attrazione verso il corpo liquido.



DIFFUSIONE

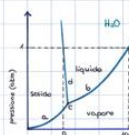
I liquidi miscibili si diffondono in seguito al loro continuo movimento e sostituiscono i vuoti.



EVAPORAZIONE

Le molecole di un liquido, se lasciate all'aria, passano allo stato di vapore.

La pressione di vapore varia con la temperatura e della natura della sostanza.



Se il processo di evaporazione avviene in un recipiente chiuso, mentre il liquido è in equilibrio con il vapore, si raggiunge uno stato di equilibrio. Le molecole nello stato gassoso esercitano una pressione e quella che colpiscono la superficie del liquido che si evapora. La pressione di equilibrio prende il nome di **TENSIONE DI VAPORE** del liquido.

DIAGRAMMA DI STATO DELL'ACQUA

a = curva di fusione del ghiaccio (solido) in acqua (liquida).

b = curva di fusione del ghiaccio (solido) in acqua (liquida).

c = punto triplo (a cui solido e liquido hanno la stessa tensione di vapore).

d = curva dell'equilibrio solido-liquido.

A study on Scoring Concept Maps

Voti 2009-2010

Nome	M R	1° parz.	2° parz.	Pro bls	MS LQ	GA LT	FI Gs	Voto	Mappe	Sunti
	M	20	29	77	159	20	13	24		16
+	M	23	27	44	214	18	16	27		14
	R	15	30	61	211			20		20
	R	30	30	126	212	20	14	26		6
	M	20	15 22	200	224	21	4	18	2	7
+	R	30	30	267	227	20	14	28		19
	M	27	27	161	198	23	7	30 L		12
		30	17	44				28	5	
+		30	30	106	217	23	14	30	17	
+		20	27	345	177			26	18	7
	R	10	4	170	196			26	1	15
	M	20	24	218	182	20	9	22	6	
	R	27	22	38	184			24		2
+	R	25	30	129	233	24	8	30 L		11
+	R	30	27	41	203	21	2	18	1	13
	R	5	1/2	98	203			21		20
	M	25	27	216	209	23	15	28		3
++	R	10	21/2	160	204			25		17
	R	8	1 2	219	239			18		17
	R	25	25	190	165	21	16	21		
	R	30	27	228	206	23	7	30	2	16
+	R	30	27	157	220	19	15	28		10
	R	30	22	335	207	19	14	28		6
	M	30	19	301	222	21	10	22	15	
	M	25	25	37	201	23	14	27	9	
	R	20	5 3	105	199			18	18	
		25	22	138	181	23	13	24	18	
	R	8	11/3 31/2	148	213			23		25
	M	15		303				21	13	14
	R	30		174	224			30 L		17
++		30	30	180	245			30 L	10	
	M	5	21/2	9	203			18	18	
	R	30	17	128		24	16	28		21
	M	30	30	99	183	21	17	30	5	12
	M	25	26	69	186	20	15	26	5	

	R	30	24	167	223	18	14	27		14
+	R	30	25	116	236	23	17	30 L		
	M	30	27	293	217	23	9	30	20	
	R	30	21	114	217	23	18	26	16	
		27	20	271	184	19	16	24		25
	R	12	21/2	82	189			18		18
	M	25	30	272	207	20		30		20
+	M	27	20	103	249	21	11	30	11	
	M	20	18	62	201	22	14	23	16	
	M	29	20	157	196	15	8	23	18	
		15	23	250	221	15	15	26		19
	M	30	30	159	194		14	30 L	10	9
	R	10	30	259	214	19		26		13
++	M	30	20	96	191	19	18	30 L	14	
	R	24	30	47	206	22	18	18	6	
	M	20	25	159	231			24		20
+	R	22	18	29	189			20		16
		20	30	100	217	22	17	24	22	
	R	10	25	213	183	20	8	27		14
	M	30	30	247	247	21	6	30 L		11
	M	0	3	159	208			26	8	
	M			65	171			25		
		30	27	84	190			28		
	M	30	20	51	230	19	11	18	2	3
	M	20	20	159	193	21	13	23		
	M	30	20	186	218	19	12	21		
	R	30	30	181	170			30 L		13
	R	30	30	171				27		16
	M	25	25	180	191	23	11	27	23	
		17	27	267	151	18	16	26	20	m/r?
++		30	30	136	227	15	15	30 L		20
	R	27	25	177	194	23	14	27		15
	M	25	30	244	217	10	17	30	m/r?	21
	R	25	27	93	202	21	16	24	m/r?	17
	R	30	25	249	200	23	16	27		21
	M	23	20		208			27		22




Scoring Concept Maps

In a 2 x 2 instructional technique (concept mapping or summarizing) 345 engineering class (section A and B) experiment students in each section were randomly assigned, half to each instructional treatment

At the end of the course, students' achievement was measured on a problem-solving test, an oral examination and other assessments

Scoring Concept Maps

A one way ANOVA was performed looking for correlations with:

-  **The Final Exam Score;**
-  **Midterm Score (first partial written exam);**
-  **Number of Problems solved during the course;**

 **Creative Problem Solving;**

 **Pintrich's Motivated Strategies for Learning Questionnaire;**

 **Field Dependent/Field Independent Test;**

 **Number of Concept Maps turned in**

 **Number of Summaries turned in**

Scoring Concept Maps

Descriptives

		N	Mean	Std. Deviation	Std. Error	95% Confidence Interval for Mean		Minimum	Maximum
						Lower Bound	Upper Bound		
Creative Problem Solving	Neither	0
	Map	5	1.20	.447	.200	.64	1.76	1	2
	Resume	2	1.00	.000	.000	1.00	1.00	1	1
	Both	2	1.00	.000	.000	1.00	1.00	1	1
	Total	9	1.11	.333	.111	.85	1.37	1	2
Midterm Score	Neither	7	21.57	8.810	3.330	13.42	29.72	5	30
	Map	32	21.44	8.784	1.553	18.27	24.60	0	30
	Resume	28	19.89	8.377	1.583	16.64	23.14	0	30
	Both	14	20.07	9.161	2.448	14.78	25.36	3	30
	Total	81	20.68	8.580	.953	18.78	22.58	0	30
Final Exam Score	Neither	7	21.43	9.863	3.728	12.31	30.55	2	30
	Map	27	28.00	3.013	.580	26.81	29.19	20	30
	Resume	23	26.78	5.931	1.237	24.22	29.35	5	30
	Both	11	26.45	5.466	1.648	22.78	30.13	15	30
	Total	68	26.66	5.643	.684	25.30	28.03	2	30
Number of Problems Completed and Given to Liberato	Neither	6	78.17	69.718	28.462	5.00	151.33	16	207
	Map	30	118.97	73.963	13.504	91.35	146.58	11	288
	Resume	27	96.70	52.585	10.120	75.90	117.51	13	212
	Both	14	121.07	98.830	26.414	64.01	178.13	14	406
	Total	77	108.36	72.238	8.232	91.97	124.76	11	406
Pintrich's Motivated Strategies for Learning Questionnaire	Neither	4	195.50	18.267	9.133	166.43	224.57	176	213
	Map	28	206.04	15.332	2.897	200.09	211.98	178	237
	Resume	28	214.18	22.601	4.271	205.41	222.94	176	250
	Both	11	214.82	22.122	6.670	199.96	229.68	178	246
	Total	71	210.01	20.021	2.376	205.28	214.75	176	250
Field Dependence/Field Independence Test	Neither	6	12.67	3.077	1.256	9.44	15.90	10	17
	Map	24	11.04	3.127	.638	9.72	12.36	4	17
	Resume	22	12.73	2.979	.635	11.41	14.05	4	17
	Both	11	12.18	3.027	.913	10.15	14.22	6	16
	Total	63	11.98	3.077	.388	11.21	12.76	4	17
Total Class Score (midterm+final+oral exam)	Neither	7	27.29	3.450	1.304	24.09	30.48	23	30
	Map	32	24.66	3.756	.664	23.30	26.01	18	30
	Resume	29	23.90	4.047	.752	22.36	25.44	18	30
	Both	14	25.79	4.388	1.173	23.25	28.32	18	30
	Total	82	24.80	4.004	.442	23.93	25.68	18	30
Number of concept maps turned in	Neither	0
	Map	32	16.1250	5.28388	.93407	14.2200	18.0300	3.00	25.00
	Resume	6	1.1667	.40825	.16667	.7382	1.5951	1.00	2.00
	Both	13	5.5385	4.27425	1.18546	2.9556	8.1214	2.00	15.00
	Total	51	11.6667	7.57804	1.06114	9.5353	13.7980	1.00	25.00
Number of resumes turned in	Neither	0
	Map	2	4.0000	4.24264	3.00000	-34.1186	42.1186	1.00	7.00
	Resume	29	16.0690	4.65933	.86522	14.2967	17.8413	1.00	25.00
	Both	14	13.0000	4.20622	1.12416	10.5714	15.4286	3.00	18.00
	Total	45	14.5778	5.17638	.77165	13.0226	16.1329	1.00	25.00

Scoring Concept Maps

Test of Homogeneity of Variances

	Levene Statistic	df 1	df 2	Sig.
Creative Problem Solving	2.370	2	6	.174
Midterm Score	.061	3	77	.980
Final Exam Score	3.054	3	64	.035
Number of Problems Completed and Given to Liberato	1.754	3	73	.163
Pintrich's Motivated Strategies for Learning Questionnaire	1.813	3	67	.153
Field Dependence/Field Independence Test	.078	3	59	.972
Total Class Score (midterm+final+oral exam)	.401	3	78	.752
Number of concept maps turned in	4.388	2	48	.018
Number of resumes turned in	.011	2	42	.989

Scoring Concept Maps

ANOVA

		Sum of Squares	df	Mean Square	F	Sig.
Creative Problem Solving	Between Groups	.089	2	.044	.333	.729
	Within Groups	.800	6	.133		
	Total	.889	8			
Midterm Score	Between Groups	46.458	3	15.486	.204	.893
	Within Groups	5843.196	77	75.886		
	Total	5889.654	80			
Final Exam Score	Between Groups	240.866	3	80.289	2.715	.052
	Within Groups	1892.355	64	29.568		
	Total	2133.221	67			
Number of Problems Completed and Given to Liberato	Between Groups	14775.460	3	4925.153	.942	.425
	Within Groups	381818.4	73	5230.388		
	Total	396593.8	76			
Pintrich's Motivated Strategies for Learning Questionnaire	Between Groups	2025.278	3	675.093	1.737	.168
	Within Groups	26033.708	67	388.563		
	Total	28058.986	70			
Field Dependence/Field Independence Test	Between Groups	36.692	3	12.231	1.311	.279
	Within Groups	550.292	59	9.327		
	Total	586.984	62			
Total Class Score (midterm+final+oral exam)	Between Groups	81.184	3	27.061	1.733	.167
	Within Groups	1217.694	78	15.611		
	Total	1298.878	81			
Number of concept maps turned in	Between Groups	1785.769	2	892.885	39.480	.000
	Within Groups	1085.564	48	22.616		
	Total	2871.333	50			
Number of resumes turned in	Between Groups	323.116	2	161.558	7.928	.001
	Within Groups	855.862	42	20.378		
	Total	1178.978	44			

Scoring Concept Maps

Midterm Score

Tukey HSD^{a,b}

Received treatment condition	N	Subset for alpha = .05
		1
Resume	28	19.89
Both	14	20.07
Map	32	21.44
Neither	7	21.57
Sig.		.956

Means for groups in homogeneous subsets are displayed.

- Uses Harmonic Mean Sample Size = 14.222.
- The group sizes are unequal. The harmonic mean of the group sizes is used. Type I error levels are not guaranteed.

Final Exam Score

Tukey HSD^{a,b}

Received treatment condition	N	Subset for alpha = .05	
		1	2
Neither	7	21.43	
Both	11	26.45	26.45
Resume	23	26.78	26.78
Map	27		28.00
Sig.		.072	.890

Means for groups in homogeneous subsets are displayed.

- Uses Harmonic Mean Sample Size = 12.727.
- The group sizes are unequal. The harmonic mean of the group sizes is used. Type I error levels are not guaranteed.

Scoring Concept Maps

Number of Problems Completed and Given to Liberator

Tukey HSD^{a,b}

Received treatment condition	N	Subset for alpha = .05
		1
Neither	6	78.17
Resume	27	96.70
Map	30	118.97
Both	14	121.07
Sig.		.436

Means for groups in homogeneous subsets are displayed.

- Uses Harmonic Mean Sample Size = 12.967.
- The group sizes are unequal. The harmonic mean of the group sizes is used. Type I error levels are not guaranteed.

Pintrich's Motivated Strategies for Learning Questionnaire

Tukey HSD^{a,b}

Received treatment condition	N	Subset for alpha = .05
		1
Neither	4	195.50
Map	28	206.04
Resume	28	214.18
Both	11	214.82
Sig.		.146

Means for groups in homogeneous subsets are displayed.

- Uses Harmonic Mean Sample Size = 9.701.
- The group sizes are unequal. The harmonic mean of the group sizes is used. Type I error levels are not guaranteed.

Scoring Concept Maps

Field Dependence/Field Independence Test

Tukey HSD^{a,b}

Received treatment condition	N	Subset for alpha = .05
		1
Map	24	11.04
Both	11	12.18
Neither	6	12.67
Resume	22	12.73
Sig.		.548

Means for groups in homogeneous subsets are displayed.

- Uses Harmonic Mean Sample Size = 11.604.
- The group sizes are unequal. The harmonic mean of the group sizes is used. Type I error levels are not guaranteed.

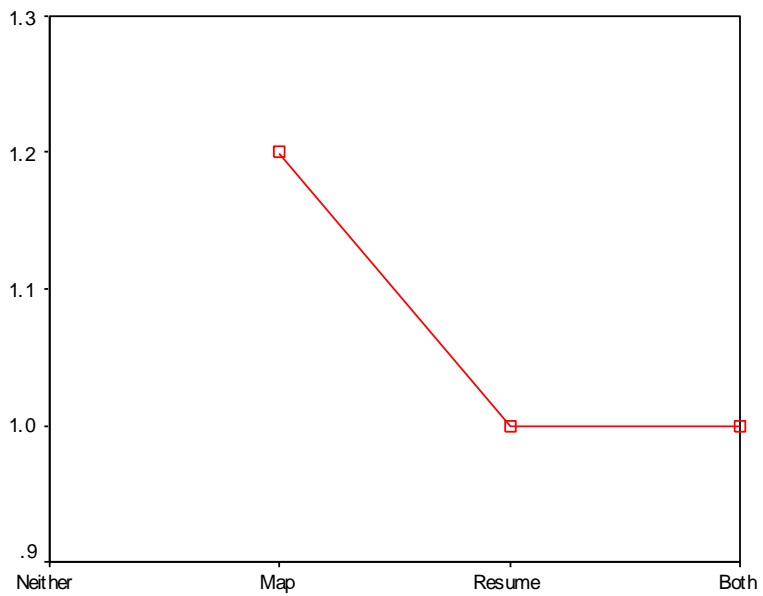
Total Class Score (midterm+final+oral exam)

Tukey HSD^{a,b}

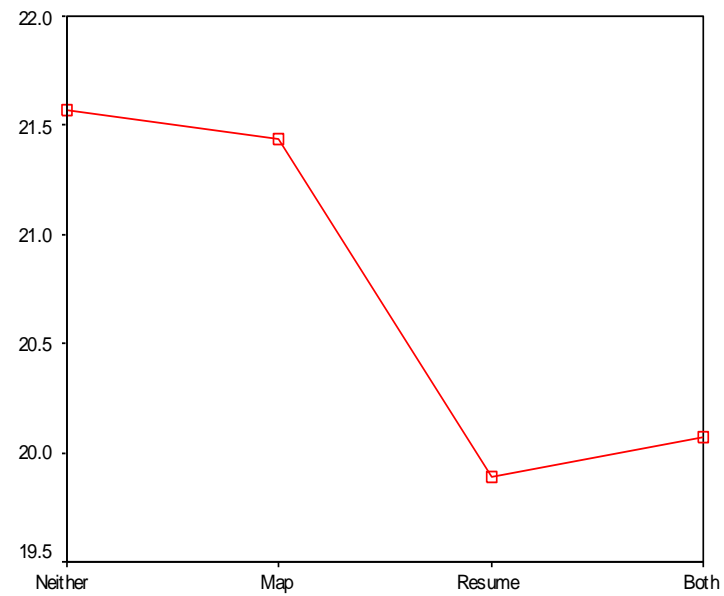
Received treatment condition	N	Subset for alpha = .05
		1
Resume	29	23.90
Map	32	24.66
Both	14	25.79
Neither	7	27.29
Sig.		.109

Means for groups in homogeneous subsets are displayed.

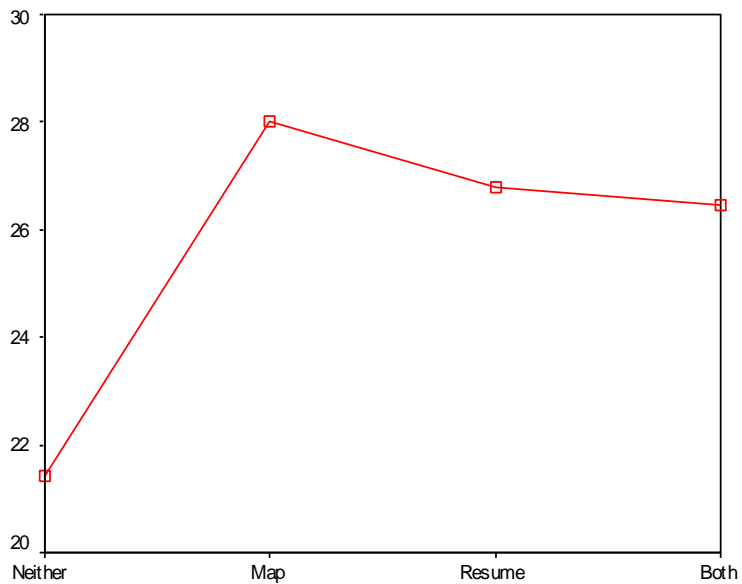
- Uses Harmonic Mean Sample Size = 14.285.
- The group sizes are unequal. The harmonic mean of the group sizes is used. Type I error levels are not guaranteed.



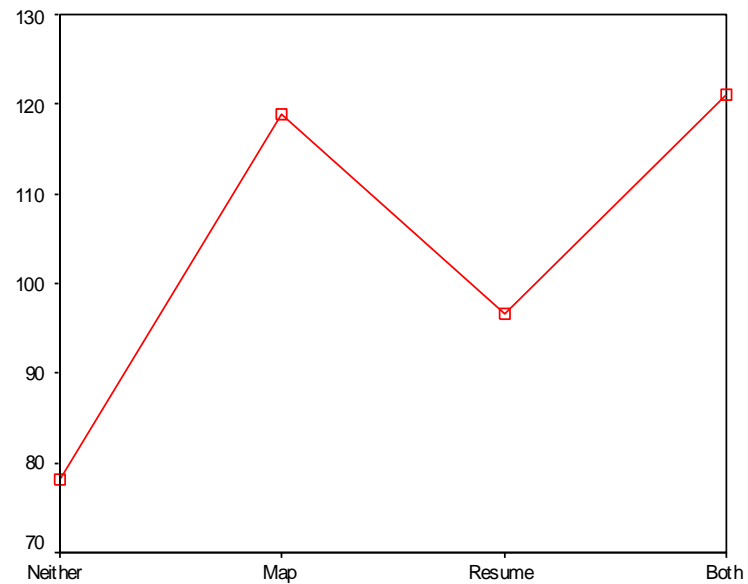
Received treatment condition



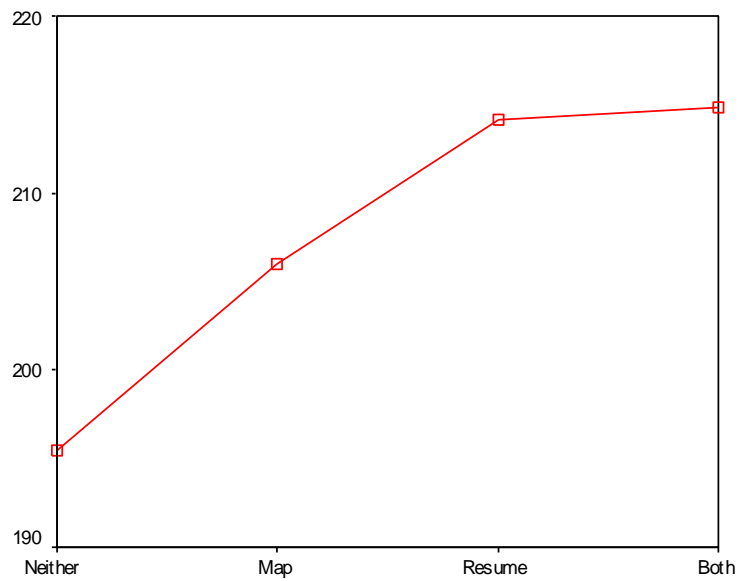
Received treatment condition



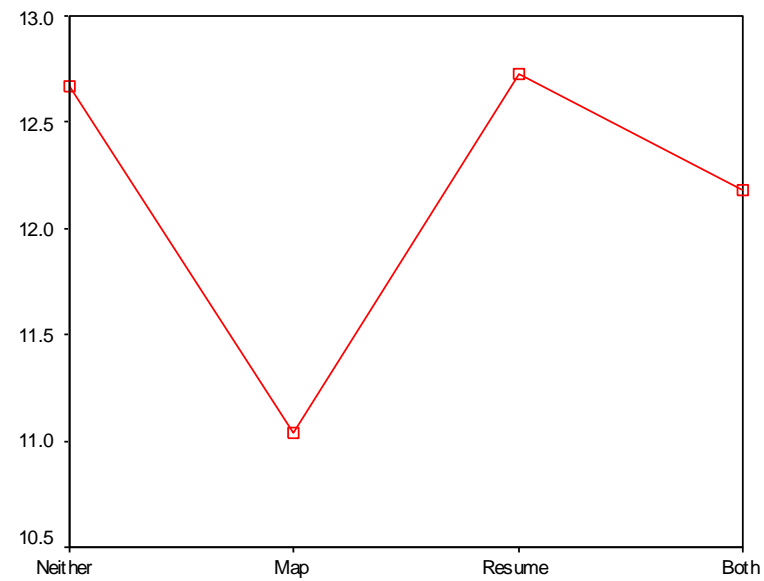
Received treatment condition



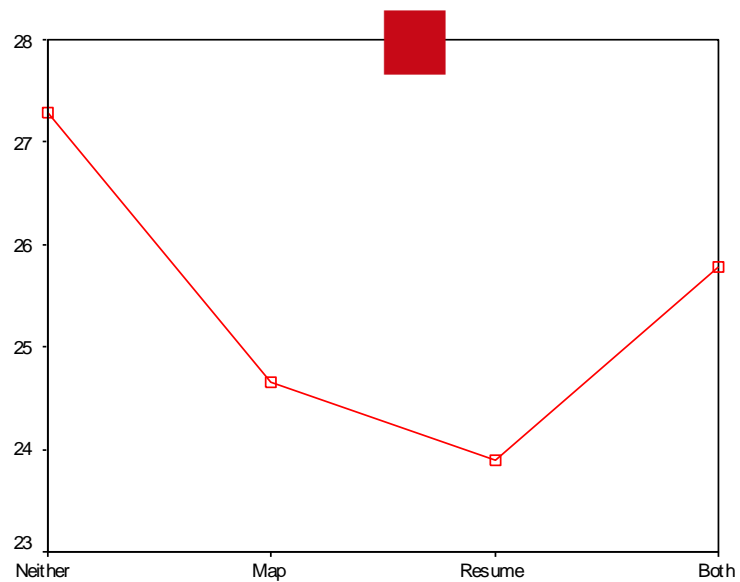
Received treatment condition



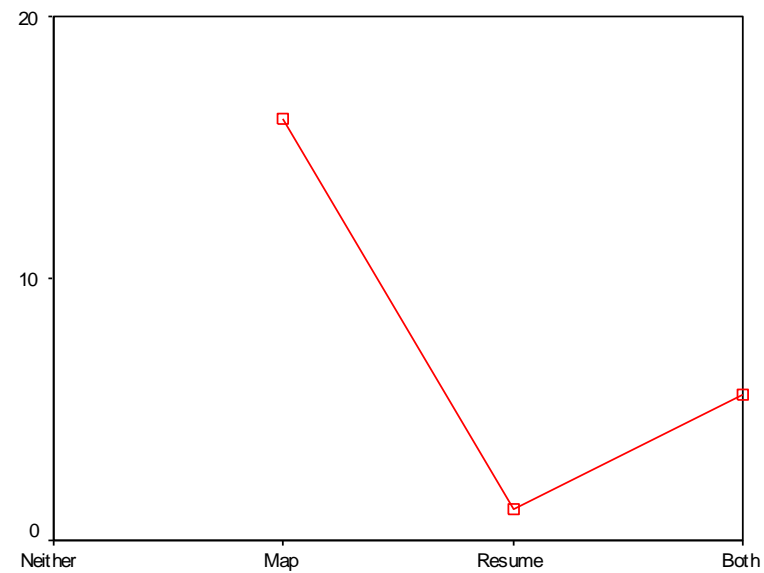
Received treatment condition



Received treatment condition



Received treatment condition



Received treatment condition

**Gifted
Students**

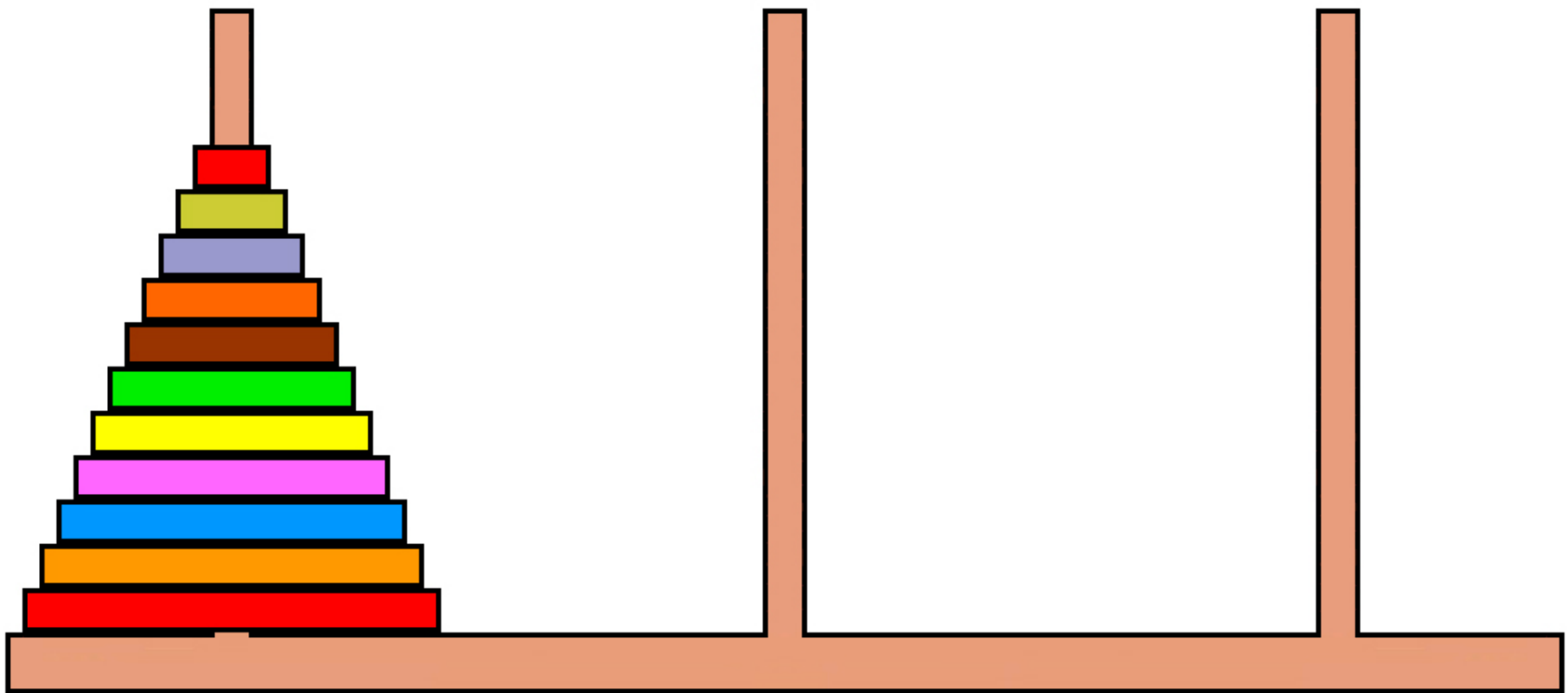
Higher-order cognitive skills

Problem solving is an higher-order cognitive skill

To solve a problem is different from knowing a concept or a formula

Teach Less, Learn More

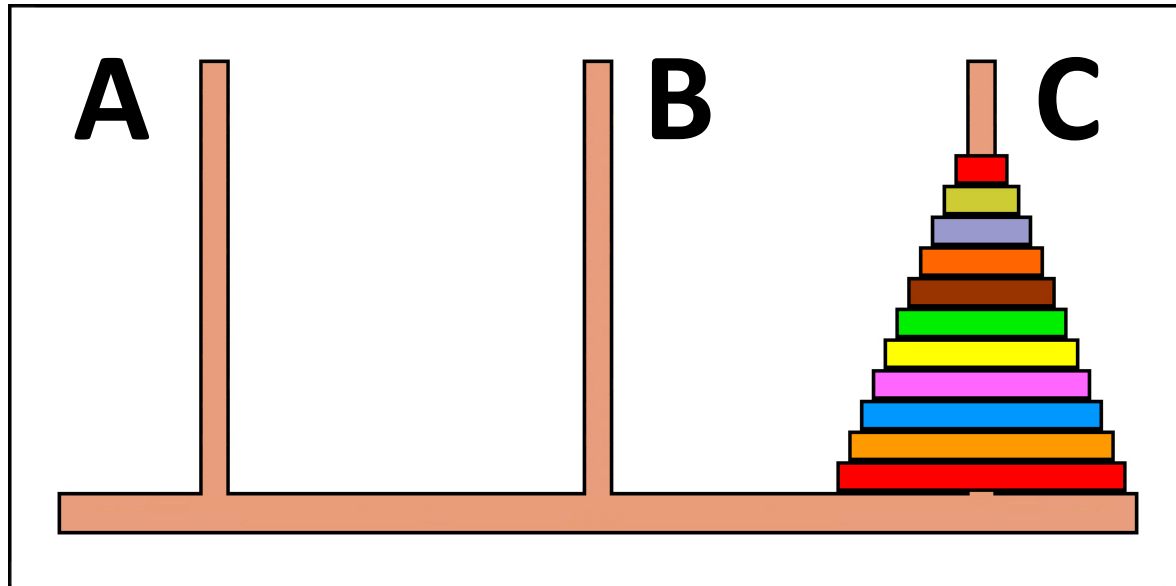
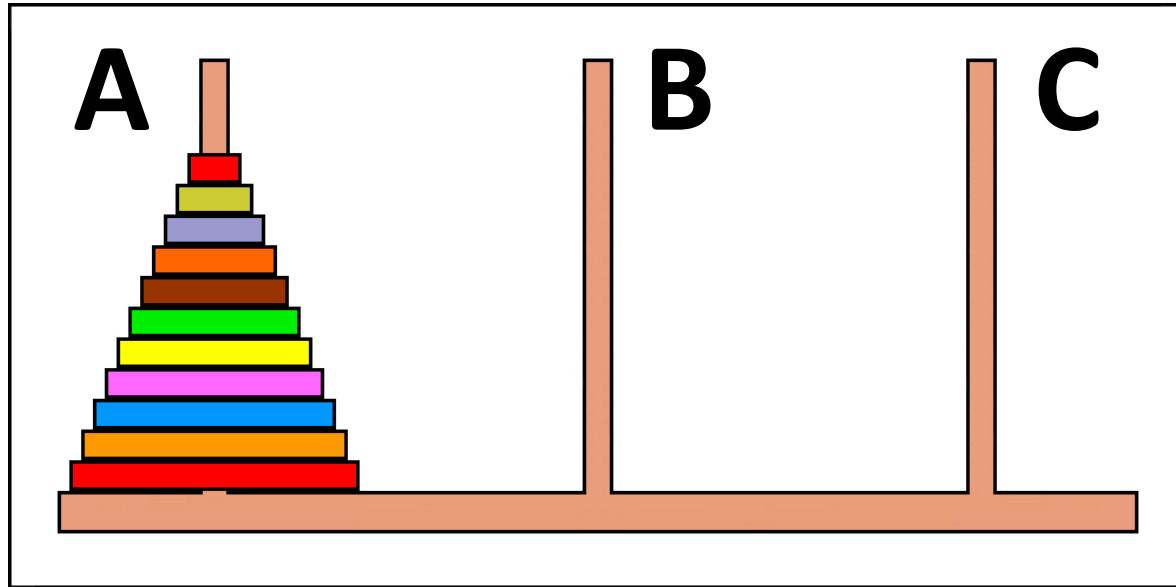
Hanoi tower



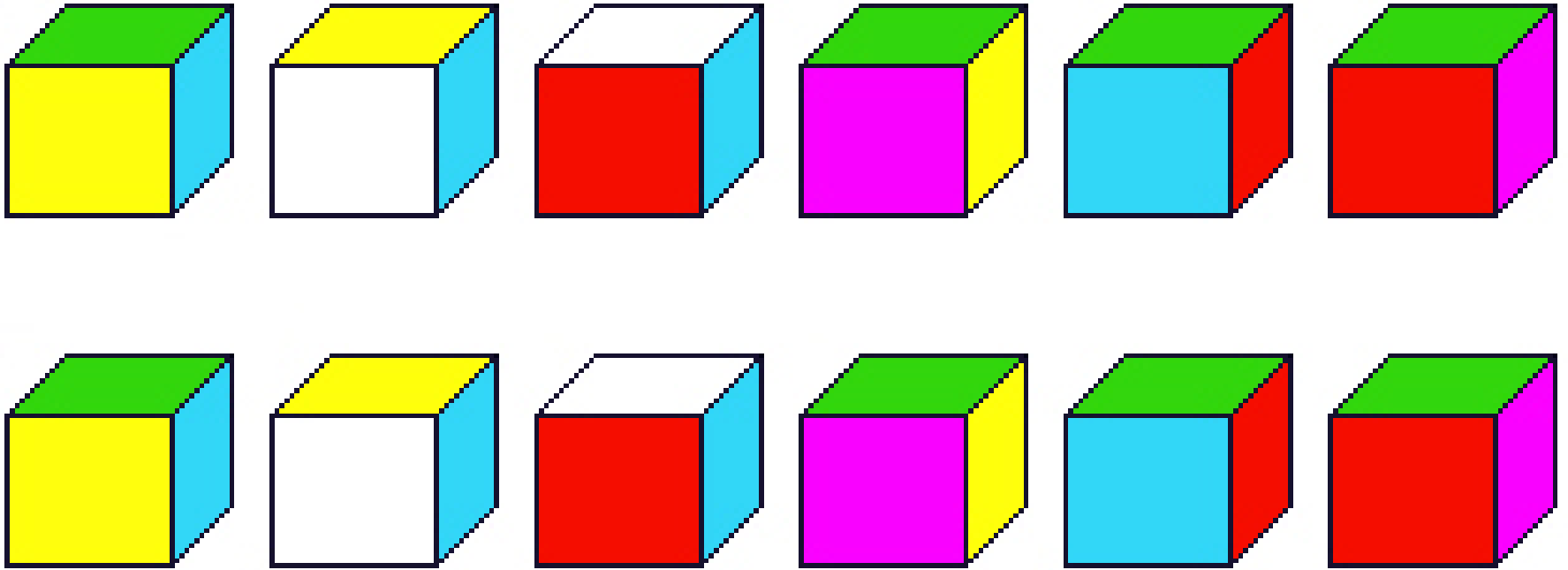
Restrictions

- 1** The only allowed move is to grab one disk from the top of one peg and drop it on another peg
- 2** A larger disk can never lie above a smaller disk

The solution



We have 12 small cubes apparently equal



One of them has a weight different from the others

There is also a scale with two pans



How is it possible, with only 3 weighing, to establish exactly which weights differently from the others and if it weights more or less?

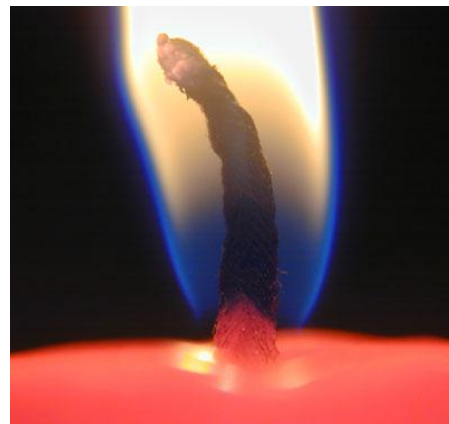
CRYPTARITHMETIC

$$\begin{array}{r} \text{D O N A L D} + \\ \text{G E R A L D} = \\ \hline \text{R O B E R T} \end{array}$$

Creativity in Problem Solving

A mixture formed by NaCl, NaClO and KClO contains 16.64% of oxygen and 21.52% of Na

Calculate the percentage of K in the mixture (mxt)



Rules of the game

It is allowed to use only the reasoning

**Mathematical crutches such as
linear equations or systems of
equations are not allowed**

The problem

A mixture of CH_4O , C_6H_6 , and $\text{C}_7\text{H}_6\text{O}$ weighing 44.37 g has the following elemental analysis: C = 68.74%; H = 8.905%; O = 22.355%.

How many grams of C_6H_6 are contained in the mixture?

Conclusions



Concept Maps



**Concept maps are
a way to represent
knowledge**

**They were invented
in 1972 by Joseph
Novak**

LEARNING HOW TO LEARN



Joseph D. Novak
D. Bob Gowin



Edited by
Kurt C. Mantez, James H. Wandersee, & Joseph D. Novak

Teaching Science for Understanding

A Human Constructivist View



A Volume in the Educational Psychology Series

Copyrighted material

Knowledge is *constructed* idiosyncratically

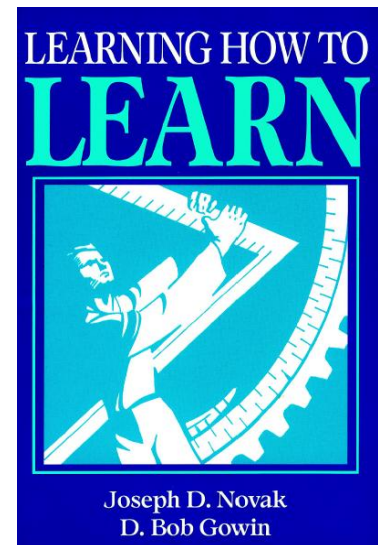
... meaning building is an idiosyncratic event, involving not only unique concept and propositional frameworks of the learners, but also varying approaches to learning and varying emotional predispositions. (Novak, 2002, p. 555)

Novak, J. D. (2005). The pursuit of a dream: Education can be improved. In J. J. Mintzes, J. H. Wandersee, J. D. Novak (Eds), *Teaching science for understanding: A human constructivism view* (pp. 3-28). San Diego, CA: Elsevier

Scoring Concept Maps

“A simple qualitative judgement of students’ concept maps is all that some teachers want. ... Scoring was in many respects irrelevant, for we were looking for qualitative changes in the structure of children’s concept maps. But because we live in a numbers-oriented society, most students and teachers want to score concept maps.”

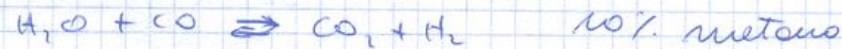
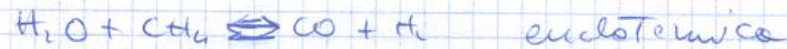
J. D. Novak, D. B. Gowin, *Learning how to learn*, Cambridge University Press: New York, 1984, p. 97.



Ammonia's synthesis

1 - DESULFURAZIONE

2 - REFORMING PRIMARIO



gas H_2 N_2

3 - OSSIDAZIONE



4 - RIMOZIONE CO_2

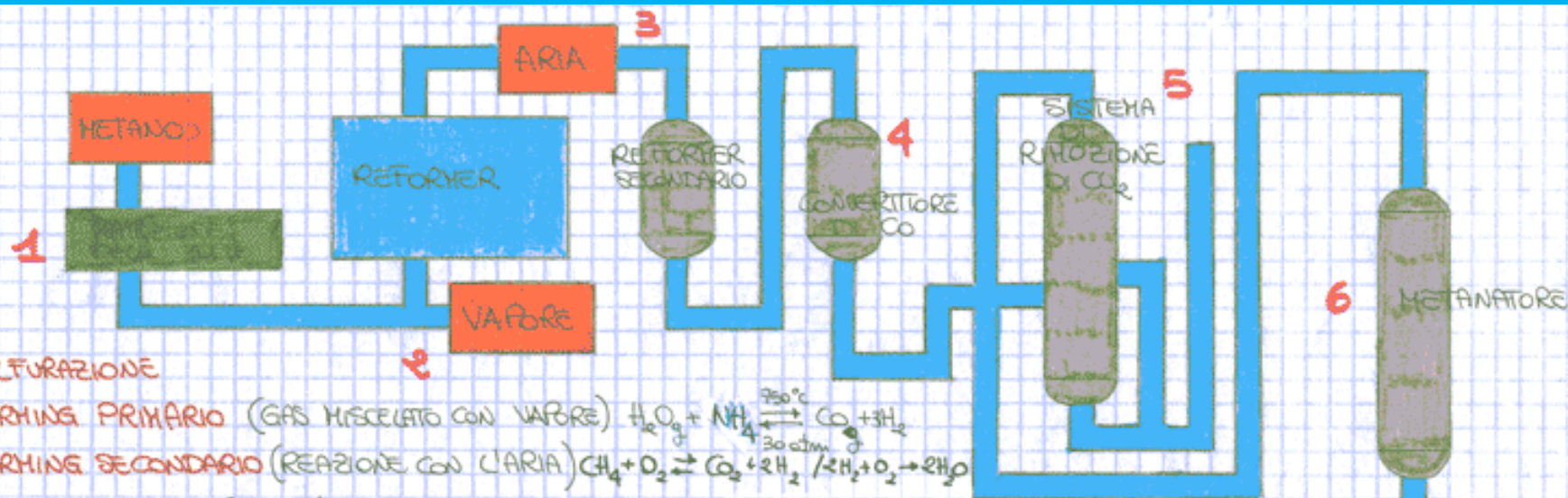
5 - METANAZIONE



6 - COMPRESSIO

7 - SINTESI

8 - STOCCAGGIO



1 DESOLFURAZIONE

2 REFORMING PRIMARIO (GAS MISCELATO CON VAPORE) $\text{H}_2\text{O}_g + \text{NH}_3 \xrightleftharpoons[30 \text{ atm}]{750^\circ\text{C}} \text{CO} + 3\text{H}_2$

3 REFORMING SECONDARIO (REAZIONE CON L'ARIA) $\text{CH}_4 + \text{O}_2 \rightleftharpoons \text{CO}_2 + 2\text{H}_2$ / $2\text{H}_2 + \text{O}_2 \rightarrow 2\text{H}_2\text{O}$

4 OSSIDAZIONE CO $\text{CO} + \text{H}_2\text{O} \rightleftharpoons \text{CO}_2 + \text{H}_2$

5 RIMOZIONE CO₂ (PER ASSORBIMENTO)

6 METANAZIONE (RIMOZIONE DI CO E CO₂ RIMASTI)

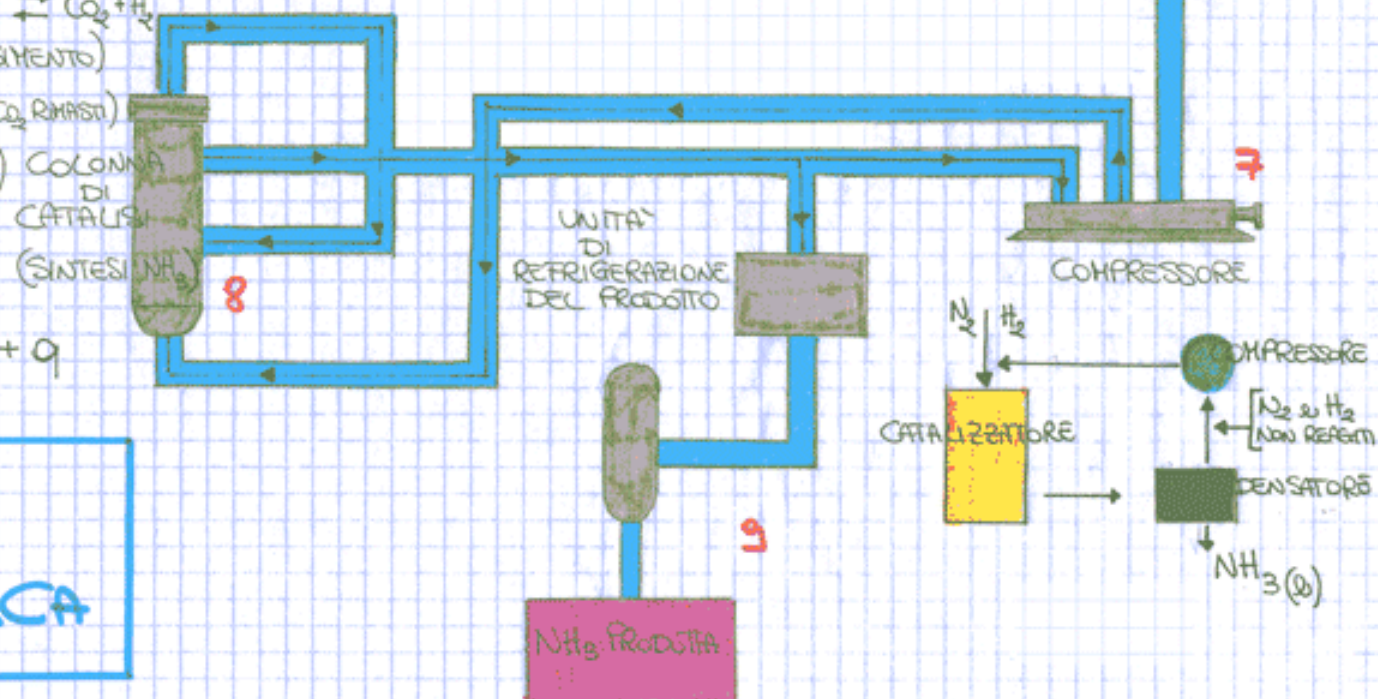
7 COMPRESSIONE (DA 15 A 150 atm) COLONNA DI CATALISI (SINTESI NH₃)

8 SINTESI

9 STOCCAGGIO



SINTESI DELL'AMMONIACA



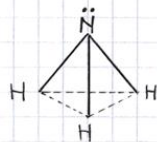
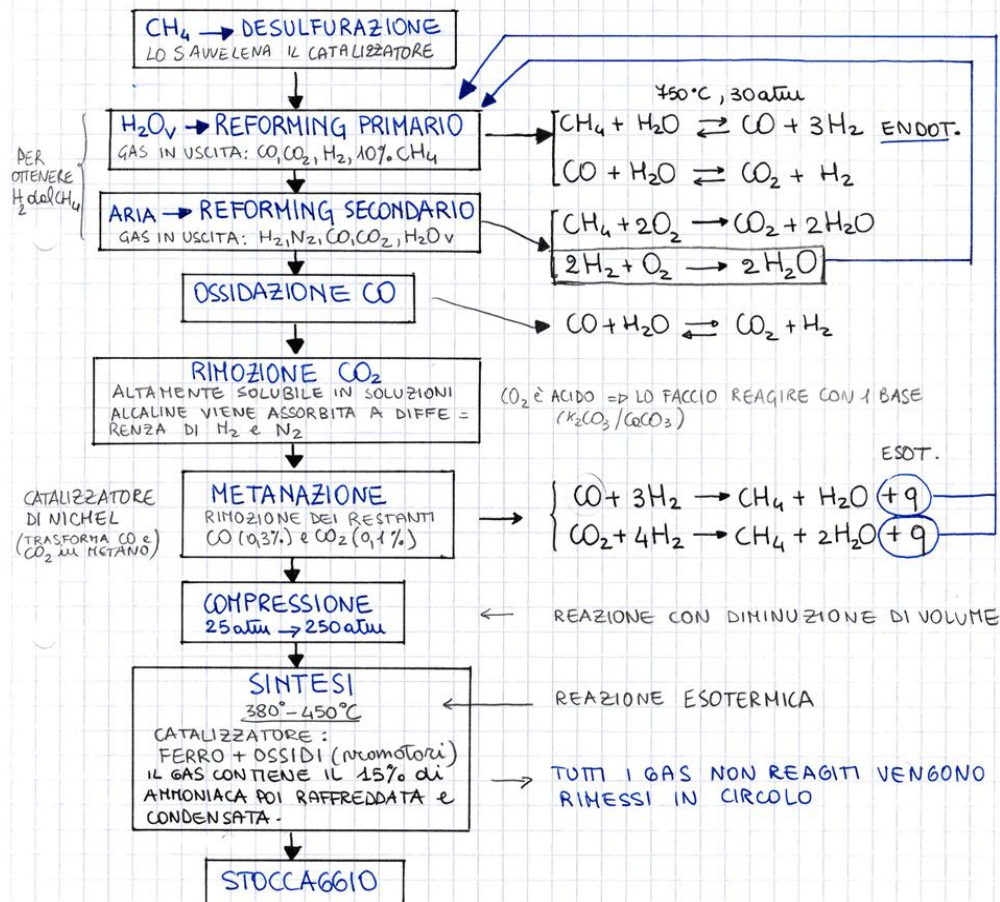
SINTESI DELL'AMMONIACA

PROCESSO CICLICO e CONTINUO



PRODUZIONE dei Reagenti → COMPRESSIONE → SINTESI → STOCCAGGIO

IL PROCESSO DI SINTESI PREVEDE 9 FASI:

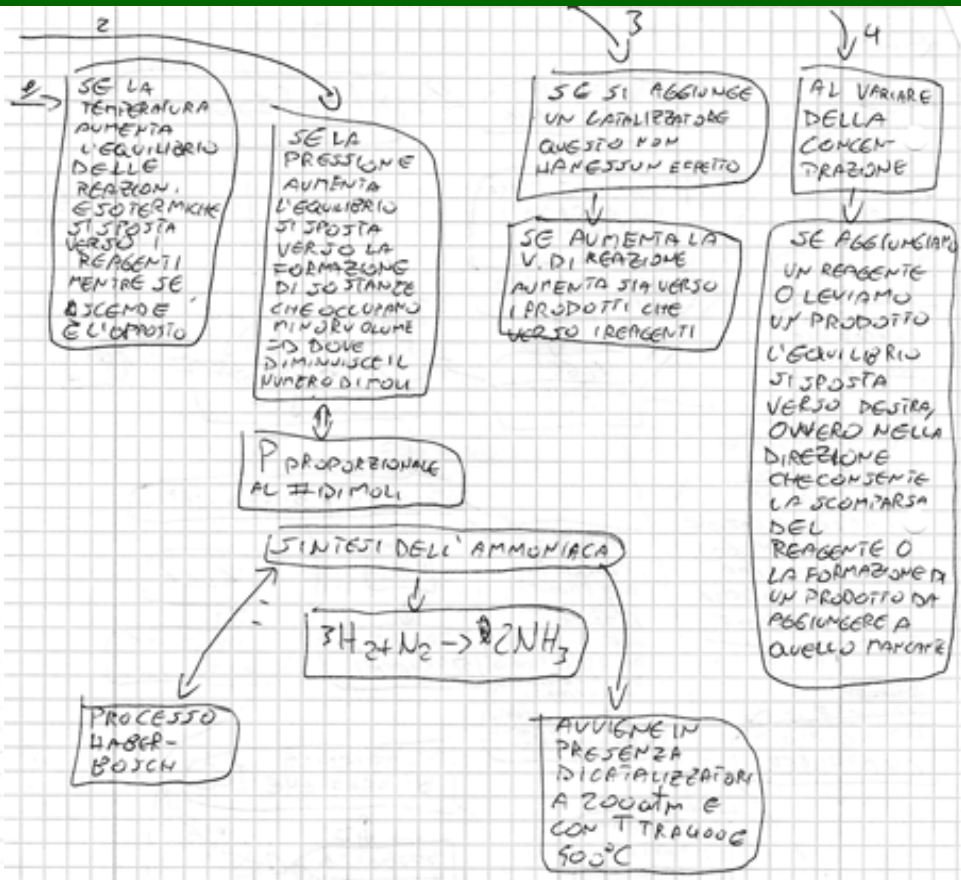
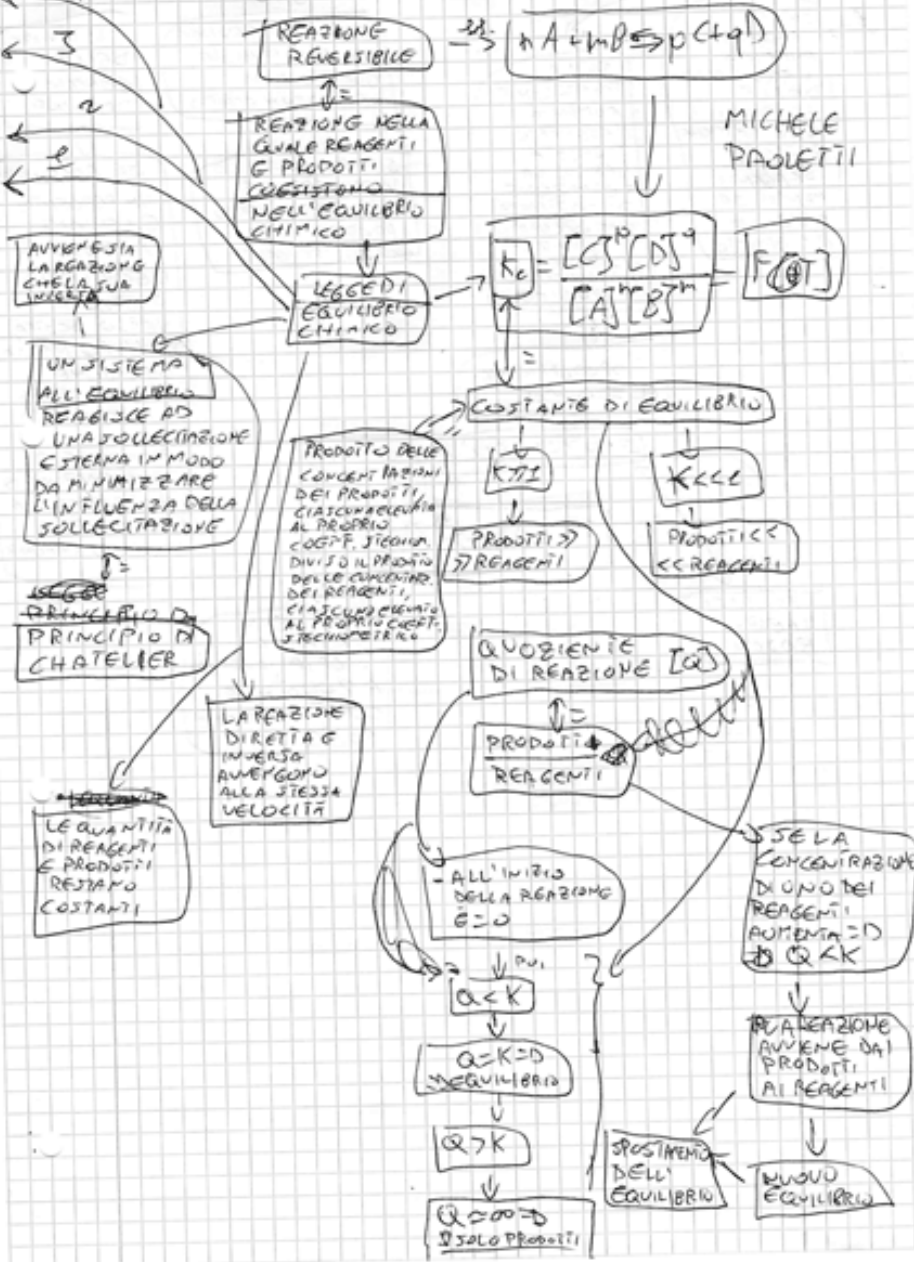


PIRAMIDE A BASE
N IBRIDIZZATO sp^3

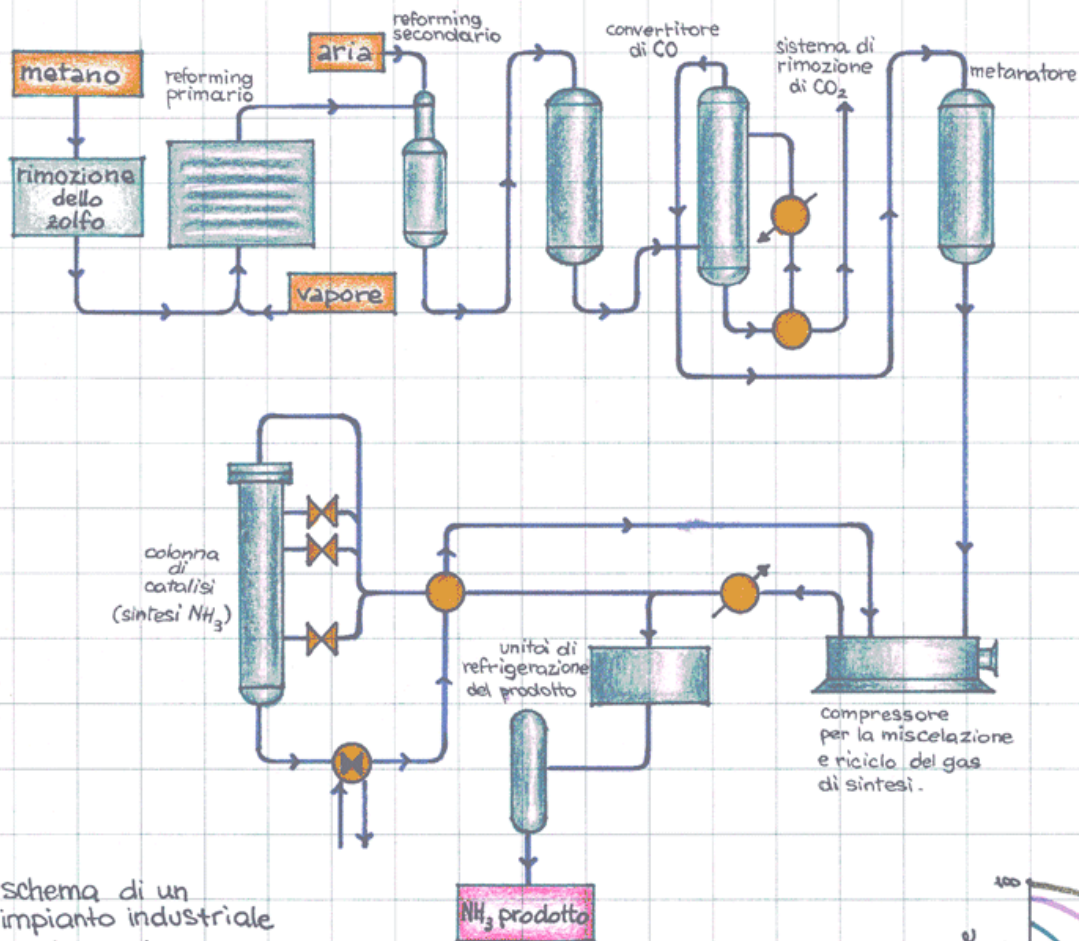
NON SI FORMA SPONTANEAMENTE PER L'ALTO VALORE DELL'ENERGIA DI ATTIVAZIONE.

BOLLE A -33°C

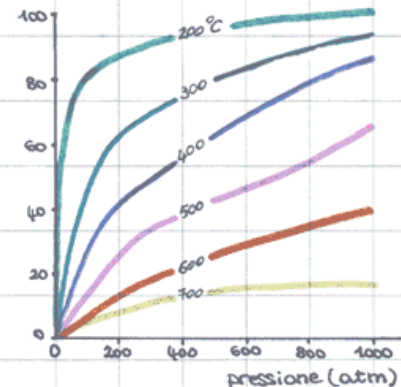
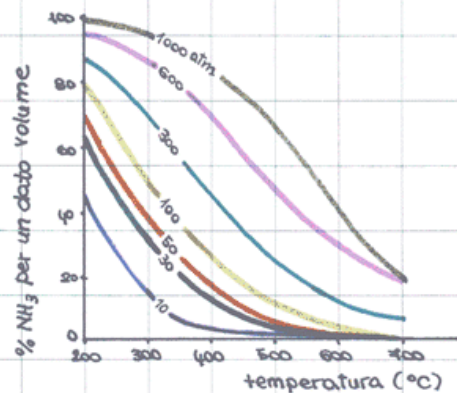
L'EQUILIBRIO CHIMICO



SINTESI DELL'AMMONIACA



- 1 desulfurazione $\text{CH}_4 \rightarrow$ lo zolfo avvelena il catalizzatore.
- 2 reforming primario $\text{CH}_4 + \text{H}_2\text{O} \rightleftharpoons \text{CO} + \text{H}_2$
 $\text{CO} + \text{H}_2\text{O} \rightleftharpoons \text{CO}_2 + \text{H}_2$
 10% CH_4
- 3 reforming secondario $\text{CH}_4 + \text{O}_2 \rightarrow \text{CO}_2 + 2\text{H}_2\text{O}$
 $2\text{H}_2 + \text{O}_2 \rightarrow 2\text{H}_2\text{O}$
- 4 ossidazione CO $\text{CO} + \text{H}_2\text{O} \rightleftharpoons \text{CO}_2 + \text{H}_2$
- 5 rimozione CO_2 Assorbimento su soluzioni alcaline
 $\text{CO}_2 + 2\text{NaOH} \rightarrow \text{Na}_2\text{CO}_3 + \text{H}_2\text{O}$
 0,3% CO e 0,1% CO_2
- 6 metanazione $\text{CO} + 3\text{H}_2 \rightarrow \text{CH}_4 + \text{H}_2\text{O}$
 $\text{CO}_2 + 4\text{H}_2 \rightarrow \text{CH}_4 + 2\text{H}_2\text{O}$
- 7 compressione La pressione passa da 25 atm a 250 atm
- 8 sintesi il reattore opera a 450°C ~
 il gas in uscita contiene 15% NH_3

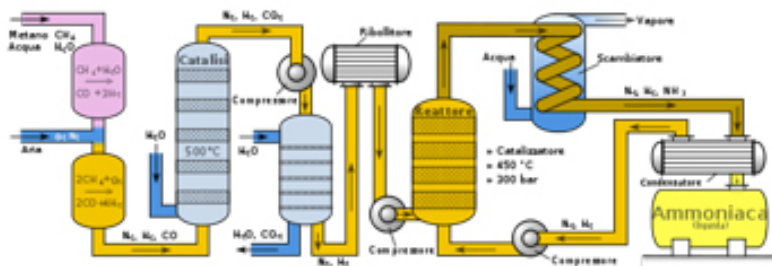


Schema di un impianto industriale per la produzione di ammoniaca

LA SINTESI DELL'AMMONIACA

L'ammoniaca è un gas incolore, più leggero dell'aria, di odore caratteristico, pungente e di effetto lacrimogeno. Il momento dipolare dell'ammoniaca la porta a liquefare facilmente se compressa e la rende molto solubile in acqua grazie all'instaurarsi del legame idrogeno. Gli usi dell'ammoniaca sono innumerevoli: è una sostanza estremamente importante in campo industriale come base per la produzione di fertilizzanti agricoli, fibre sintetiche, materie plastiche e polimeri, come componente di vernici ed esplosivi, come refrigerante nell'industria del freddo, come sbiancante nell'industria cartaria...

Processo Haber-Bosch



Storicamente il maggior problema legato alla sintesi dell'ammoniaca era rappresentato dalla difficoltà nello scindere il legame triplo che tiene uniti i due atomi di azoto nella molecola N_2 (energia di dissociazione di 225 Kcal/mol). All'inizio del secolo scorso fu elaborato il processo Haber-Bosch, un metodo che permette la sintesi industriale dell'ammoniaca su larga scala. L'ammoniaca viene sintetizzata secondo la reazione diretta: $3H_2 + N_2 \rightarrow 2NH_3$ in presenza di catalizzatori (in genere il ferro a partire dalla magnetite), a pressione di 20 MPa e temperatura di 400-500 °C, secondo le seguenti fasi chiave:

- produzione degli elementi puri mediante rimozione dei gas indesiderati
- compressione
- sintesi
- stoccaggio dell'ammoniaca e riciclo dei componenti che non hanno reagito.

Questi passaggi richiedono una serie di operazioni successive:

1. Desulfurazione: per ottenere i reagenti puri occorre partire da un composto che sia ricco di idrogeno: si sceglie allora un idrocarburo naturale (in genere il metano) dal quale vengono eliminate le tracce di zolfo. Lo zolfo infatti reagirebbe con il catalizzatore a base di ferro avvelenandolo con la formazione di solfuri indistruttibili e riducendo così in maniera evidente la sua vita residua.

2. Reforming primario: il metano entra in contatto con il vapore acqueo su un catalizzatore a base di nichel a 800°C e 30 atm e si innescano due reazioni: quella di reforming ($C_nH_m + nH_2O \leftrightarrow nCO + (n+m/2)H_2$) e quella di shift ($CO + H_2O \leftrightarrow CO_2 + H_2$).

3. Reforming secondario: i gas in uscita contengono ancora un 10% di metano. Si introduce allora un'opportuna quantità di aria (che naturalmente contiene azoto) e si fanno avvenire le seguenti reazioni:



L'acqua vapore viene riciclata. I gas che si ottengono contengono H_2 , N_2 nel rapporto 3:1 oltre a CO , CO_2 e H_2O

4. Ossidazione del CO a CO_2 : $CO + H_2O \leftrightarrow CO_2 + H_2$

5. Rimozione del CO_2 per assorbimento su soluzioni alcaline sfruttando l'alta solubilità di CO_2 e la bassa di azoto e idrogeno.

6. Metanazione: il gas ottenuto contiene ancora lo 0,3% di CO e lo 0,1% di CO_2 che rappresentano dei veleni per il catalizzatore e vanno dunque rimossi nella colonna di metanazione mediante l'ausilio di un catalizzatore a base di nichel: $CO + 3H_2 \leftrightarrow CH_4 + H_2O$ $CO_2 + 4H_2 \leftrightarrow CH_4 + 2H_2O$

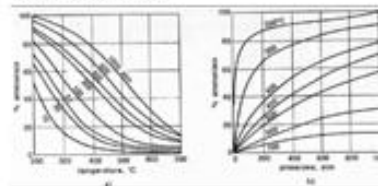
Si recupera il calore prodotto da queste reazioni esotermiche e si manda il miscuglio gassoso alla turbo compressione.

7. Compressione passando da 25 a 250 atm, la T aumenta e i gas raffreddano.

8. Sintesi: il reattore opera a 380-400°C con il catalizzatore a base di ferro addizionato a vari ossidi che promuovono le reazioni, favoriscono la divisione in atomi e proteggono il catalizzatore dall'invecchiamento. Si ottiene un gas in uscita con al massimo il 20% di NH_3 , che viene raffreddata, condensata e stoccata. I gas non reagiti, invece, vengono rimessi in circolo. L'eccesso di H_2 non si utilizza perché richiede un notevole dimensionamento d'impianto e perché il consistente riciclo comprometterebbe la continuità del processo.

All'equilibrio da una parte diminuisce la concentrazione dei reagenti (l' H_2 più dell' N_2) dall'altra aumenta quella di NH_3 che viene prodotta. La velocità di reazione e quindi la quantità prodotta di ammoniaca dipende da:

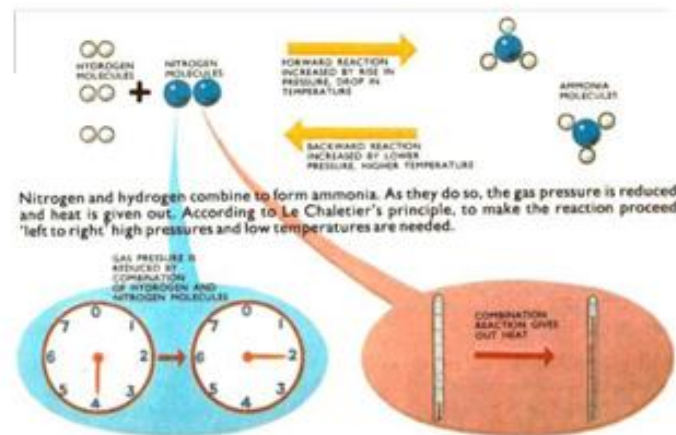
- le concentrazioni: se si aumenta H_2 (più che N_2) aumenta anche la concentrazione di NH_3 fino a nuovo equilibrio
- la temperatura: tanto è più bassa tanto è migliore la resa
- la pressione ed il volume: l'aumento di pressione come la riduzione di volume comportano una maggiore produzione di NH_3 .



Le condizioni ottimali di sintetizzazione vengono perciò definite in base alla velocità di reazione (ossia tonnellate di NH_3 prodotte in un'ora), all'energia per tonnellata di NH_3 ed alla resa (ossia la percentuale di NH_3 prodotta). Se la pressione viene innalzata, la resa incrementa ma aumentano anche i costi e i pericoli potenziali; se la temperatura viene ridotta, l'effetto positivo sulla resa del processo è controbilanciato dalla perdita di velocità reattiva: si potrebbe pensare di ottenere il 100% di ammoniaca, ma nell'arco di anni. Va dunque ricercato un compromesso tra esigenze termodinamiche e cinetiche.

Per ottenere una buona resa, cioè per far sì che quasi tutto l'idrogeno e l'azoto si trasformino in ammoniaca, il metodo Haber-Bosch sfrutta il principio dell'equilibrio mobile. Per spostare l'equilibrio della reazione verso destra la reazione viene fatta avvenire:

- ad alte concentrazioni dei reagenti, in modo da aumentare la velocità della reazione diretta
- in un recipiente con spruzzi d'acqua in modo che l'ammoniaca si scioglie facilmente e si sottragga all'equilibrio; la diminuzione della concentrazione di prodotto favorisce infatti la reazione diretta
- ad alte pressioni, perché tutti i componenti all'equilibrio sono allo stato gassoso ed il numero di molecole dei reagenti è doppio rispetto a quello dei prodotti
- a basse temperature perché la reazione è esotermica
- in presenza di un catalizzatore, per aumentare ulteriormente la velocità di reazione



谢谢! Thanks



Problem Solving

A man bought a horse for 6,000 ¥ and sold it for 7,000 ¥. Then he bought back again for 8,000 ¥ and sold it for 9,000 ¥. How much did he make in the horse business?



We Focus on Inappropriate Aspects of the Problem

A men bought a white horse for \$60 and sold it for \$70



Then he bought a black horse for \$80 and sold it for \$90. How much did he make in the horse business?

